

รายงานการวิจัยฉบับสมบูรณ์

เรื่อง

การปรับปรุงสายพันธุ์ *Escherichia coli* เพื่อผลิตกรดแลกติกด้วยเทคนิคทางพันธุศาสตร์โมเลกุล

Improvement of lactic acid production in *Escherichia coli* by using molecular genetic techniques

อาจารย์ ดร.ฤทธิรัตน์ บุญสมบัติ
สถาบันวิจัยเทคโนโลยีชีวภาพและวิศวกรรมพันธุศาสตร์ จุฬาลงกรณ์มหาวิทยาลัย

ทุนอุดหนุนการวิจัยจากเงินอุดหนุนทั่วไปจากรัฐบาล ประจำปีงบประมาณ 2556

กิตติกรรมประกาศ

รายงานวิจัยนี้สำเร็จลุล่วงได้ด้วยความอนุเคราะห์อย่างคือจังจากศ.ดร. พลกฤณ์ แสงนิช
ผู้อำนวยการสถาบันวิจัยเทคโนโลยีชีวภาพและวิศวกรรมพันธุศาสตร์ จุฬาลงกรณ์มหาวิทยาลัย

ขอขอบคุณ ผศ. ดร. ณัฏฐา ทองจุล อาจารย์ประจำสถาบันวิจัยเทคโนโลยีชีวภาพและวิศวกรรม
พันธุศาสตร์ จุฬาลงกรณ์มหาวิทยาลัย สำหรับคำปรึกษา คำแนะนำและตัวเชื้อ *R. oryzae* ที่ใช้ใน
โครงการวิจัยนี้

ขอขอบคุณ Assosiate Prof Dr. Steven J. Sandler, University of Massachusetts, Amherst, USA
สำหรับ *Escherichia coli*สายพันธุ์ตึ้งต้นที่ใช้ในโครงการวิจัยนี้

ขอขอบคุณ Dr. Kentaro Kodama สำหรับเทคนิคในการเลี้ยงแบคทีเรียเพื่อผลิตกรดแลกติก

ขอขอบคุณผู้ช่วยวิจัยโครงการ น.ส.ชนพร วิชัย และนิสิตในความดูแล น.ส.ชนวรรณ วัฒนพร
นายฐาภูร แย้มโภษ ที่ช่วยวิจัยโครงการในนี้

นอกจากนี้ต้องขอขอบคุณบุคลากรทุกท่านในสถาบันวิจัยเทคโนโลยีชีวภาพและวิศวกรรมพันธุ
ศาสตร์ จุฬาลงกรณ์มหาวิทยาลัย สำหรับความช่วยเหลือทุกๆอย่างจนรายงานวิจัยฉบับสมบูรณ์นี้สำเร็จ
ได้

และสุดท้ายนี้ขอขอบคุณทุนอุดหนุนการวิจัยจากเงินอุดหนุนทั่วไปจากรัฐบาล ประจำปี
งบประมาณ 2556 สำหรับทุนวิจัยในโครงการนี้ด้วย

บทคัดย่อ

กรดแแลกติกมีการนำไปใช้ในอุตสาหกรรมอย่างกว้างขวางรวมถึงความเป็นไปได้ในการใช้เป็นสารตั้งต้นเพื่อผลิตพลาสติกที่ย่อยสลายได้ทางชีวภาพ โดยกระบวนการผลิตกรดแแลกติกบริสุทธิ์ที่มีประสิทธิภาพมีความสำคัญอย่างยิ่งสำหรับการนำไปใช้เพื่อการสร้างสายพอลิเมอร์ เมื่อการตัดต่อยีน *ldhA* จาก *Rhizopus oryzae* เข้าสู่พลาสมิด แล้วนำเข้าสู่ *Escherichia coli* ที่ยิน *ldhA* บนดีเอ็นเออักูกทำลายเกิดเป็น *E. coli* สายพันธุ์ RB24 พบว่ายืน *ldhA* ของ *R. oryzae* บนพลาสมิดสามารถแสดงออกได้ โดยเมื่อทำการหมักในอาหารที่มีกลูโคสเริ่มต้น 100 g/L ในภาวะที่ไม่มีออกซิเจนและไม่เติม Ampicilin พบว่า *E. coli* สายพันธุ์นี้สามารถผลิตกรดแแลกติกไอโซเมอร์ L ได้มากที่สุด แต่เนื่องจากปริมาณกรดแแลกติกที่ผลิตได้ยังมีปริมาณน้อยซึ่งอาจเป็นผลมาจากการกลูโคสที่เหลือในอาหารเดิมเชื้อมีปริมาณมากทำให้ไปยับยั้งการผลิตกรดแแลกติกและการสูญเสียพลาสมิดได้ง่ายเมื่อไม่เติม Ampicilin จึงได้ทำการหาภาวะที่เหมาะสมในการหมัก *E. coli* สายพันธุ์ RB24 คือในขั้น Pre-culture ใช้ภาวะที่มีออกซิเจนเพื่อเพิ่มจำนวนเซลล์ แล้วจึงทำการหมักในภาวะที่ไม่มีออกซิเจนโดยใช้กลูโคสเริ่มต้น 20 g/L และเติม Ampicilin ทำให้ได้ปริมาณกรดแแลกติกที่คงที่มากขึ้นเมื่อทำการศึกษาการใช้เทคนิค error-prone PCR เพื่อทำให้ริเวณยืน *ldhA* จาก *R. oryzae* บนพลาสมิดเกิดการกลายพันธุ์แบบสุ่ม พบว่าสามารถคัดเลือก *E. coli* สายพันธุ์ที่ผลิตกรดแแลกติกได้ดีขึ้นกว่า *E. coli* สายพันธุ์ RB24 ประมาณ 7 เท่า โดยพบการเปลี่ยนแปลงคำนวณค่าเบนิวัลลีโอไทรค์ที่ต่างๆ 94 และ 204 หลัง Stop codon จาก G เป็น T ทั้งสองตำแหน่ง ในสายพันธุ์ที่ตั้งชื่อว่าสายพันธุ์ TW4 nokจากนี้ยังพบว่า *E. coli* สายพันธุ์ TW4 สามารถผลิตกรดแแลกติกไอโซเมอร์ L ได้ดีที่สุดในอาหารหมักที่มีกลูโคสเริ่มต้น 20 g/L

คำสำคัญ: กรดแแลกติก, *Rhizopus oryzae*, *Escherichia coli*, error-prone PCR

ABSTRACT

Lactic acid is widely applied in various industries including the use as a potential precursor for biodegradable plastics. The effective process to produce optically pure monomers of lactic acid is essential for further polymer synthesis. When plasmid with *ldhA* from *Rhizopus oryzae* was transformed into *E. coli* of which chromosomal *ldhA* was knocked out, generating the strain called RB24, *R. oryzae* *ldhA* gene on the plasmid could be expressed. The RB24 produced L-lactic acid with the highest yield when fermented with fermentation broth containing 100 g/L initial glucose without Ampicillin under anaerobic condition. However, the lactic acid yield obtained from this strain was still low that may result from the inhibition of the lactic acid production by high amount of residual glucose in the culture and the easy loss of plasmid when Ampicillin was not added. To solve this problem, the suitable condition for fermenting *E. coli* strain RB24 was optimized and found that L-lactic acid production was more stable when the strain was pre-cultured under aerobic condition to increase cell density for the inoculum and further fermented with fermentation broth containing 20 g/L initial glucose with Ampicillin addition under anaerobic condition. When error-prone PCR was applied to generate random mutations on *R. oryzae* *ldhA* gene region, which further inserted on plasmid and transformed into *E. coli*, the selected clone could produce L-lactic acid approximately 7 times more than RB24 strain. DNA sequencing suggested that, in the strain named TW4, there were 2 point mutations from G to T at both of 94th and 204th positions which were located downstream the stop codon. Furthermore, the strain TW4 could produce L-lactic acid with the highest yield by using fermentation broth with 20 g/L initial glucose.

Keywords: Lactic acid, *Rhizopus oryzae*, *Escherichia coli*, error-prone PCR

สารบัญ

หน้า

กิตติกรรมประกาศ.....	ก
บทคัดย่อ	ข
ABSTRACT.....	ค
สารบัญ	ง
สารบัญตาราง	ช
สารบัญภาพ	ช
คำอธิบายสัญลักษณ์และคำย่อ	ฉ
บทที่ 1 บทนำ.....	1
1.1 การทบทวนวรรณกรรม.....	1
1.2 ความสำคัญและที่มาของปัญหาที่ทำการวิจัย	4
1.3 วัตถุประสงค์ของโครงการวิจัย	4
1.4 ขอบเขตของโครงการวิจัย.....	4
1.5 ทฤษฎี และกรอบแนวความคิดของโครงการวิจัย.....	5
1.6 วิธีการดำเนินการวิจัยโดยสรุป.....	5
1.7 ประโยชน์ที่คาดว่าจะได้รับ	6
บทที่ 2 อุปกรณ์ วิธีดำเนินงานวิจัย	7
2.1 อุปกรณ์	7
2.2 จุลินทรีย์ พลาสมิค และไพรเมอร์	9
2.2.1 พลาสมิค.....	9

2.2.2 จุลินทรีย์.....	10
2.2.3 ไฟรเมอร์	11
2.3 การเตรียม <i>E. coli</i> สายพันธุ์ที่เหมาะสมเพื่อการแสดงออก.....	12
2.4 การตัดต่อยีน <i>ldhA</i> ของ <i>R. oryzae</i> ใส่ในพลาสมิคและคัดเลือกพลาสมิคถูกต้อง	12
2.5 การวิเคราะห์ปริมาณผลผลิตกรดแลกติก ไอโซเมอร์ L ที่ผลิตได้จาก <i>E. coli</i> ที่ได้รับพลาสมิคซึ่งมียีน <i>ldhA</i> ของ <i>R. oryzae</i> ที่ภาวะต่างๆ ในระดับ Shake flask.....	14
2.6 การทำให้ยืน <i>ldhA</i> ของ <i>R. oryzae</i> บนพลาสมิค pRB85 เกิดการกลายพันธุ์แบบสุ่มด้วยวิธี error-prone PCR และนำเข้าสู่ <i>E.coli</i>	14
2.7 การคัดเลือกโคลนที่คาดว่าผลผลิตกรดแลกติกในปริมาณมาก การวิเคราะห์ปริมาณผลผลิตกรดแลกติก ไอโซเมอร์ L ที่ผลิตได้และปริมาณน้ำตาลกลูโคสที่เหลือในอาหารเลี้ยงเชื้อในระดับ Shake flask.....	15
2.8 การศึกษาผลของปริมาณน้ำตาลกลูโคสต่อการผลิตกรดแลกติกจาก <i>E. coli</i> ที่ได้รับการปรับปรุงสายพันธุ์.....	16
2.9 การวิเคราะห์การเปลี่ยนแปลงลำดับสารพันธุกรรมของยีน <i>ldhA</i> ของ <i>R. oryzae</i>	16
2.10 การศึกษาความเป็นไปได้ในการตัดต่อยีน <i>ldhA</i> ของ <i>R. oryzae</i> ลงบนดีเอ็นเอของ <i>E. coli</i>	16
บทที่ 3 ผลการทดลองและวิจารณ์ผลการทดลอง.....	23
3.1 การสร้างพลาสมิคที่มียีน <i>ldhA</i> ของ <i>R. oryzae</i>	23
3.2 ผลผลิตกรดแลกติก ไอโซเมอร์ L ที่ได้จากการหมักในภาวะต่างๆ ในระดับ Shake flask.	23
3.3 การปรับปรุงสายพันธุ์ <i>E.coli</i> เพื่อผลิตกรดแลกติก ไอโซเมอร์ L โดยใช้เทคนิค error-prone PCR.....	26
3.4 ผลของปริมาณกลูโคส剩ิ่มต้นในอาหารเลี้ยงเชื้อสำหรับการหมักต่อการผลิตกรดแลกติก ไอโซเมอร์ L ใน <i>E.coli</i> ที่ได้รับการปรับปรุงสายพันธุ์.....	27
3.5 การเปลี่ยนแปลงลำดับนิวคลีโอไทด์ของยีน <i>ldhA</i> ของ <i>R. oryzae</i> จากสายพันธุ์ที่ผ่าน	

การทำ error-prone PCR.....	28
3.6 การศึกษาความเป็นไปได้ในการตัดต่อชีน <i>ldhA</i> ของ <i>R. oryzae</i> ลงบนดีเอ็นเอของ <i>E. coli</i>	28
บทที่ 4 สรุปผลการวิจัย อกิจกรรม และข้อเสนอแนะ	39
4.1 สรุปผลการวิจัยและอกิจกรรม	39
4.2 ข้อเสนอแนะ	40
ภาคผนวก	42
บรรณานุกรม.....	45
ประวัติผู้วิจัย	47

สารบัญตาราง

หน้า

ตารางที่ 2.1 ภาวะการหมักทางภาวะที่เหมาะสมในการผลิตกรดแลกติก ไอโซเมอร์ L จาก <i>E. coli</i> สายพันธุ์ RB24.....	18
ตารางที่ 3.1 ความเข้มข้นของกรดแลกติก ไอโซเมอร์ L ที่ผลิตได้และกลูโคสที่เหลือจาก <i>E. coli</i> สายพันธุ์ต่างๆ.....	31
ตารางที่ 3.2 ความเข้มข้นของกรดแลกติก ไอโซเมอร์ L ที่ผลิตได้และกลูโคสที่เหลือจาก <i>E. coli</i> สายพันธุ์ที่มียิน <i>ldhA</i> จาก <i>R. oryzae</i> ซึ่งผ่านการทำ error-prone PCR และตัดต่อลงบนพลาสมิค	32
ตารางที่ 3.3 ความเข้มข้นของกรดแลกติก ไอโซเมอร์ L ที่ผลิตได้และกลูโคสที่เหลือจาก <i>E. coli</i> สายพันธุ์ต่างๆ เมื่อใช้ความเข้มข้นของกลูโคสเริ่มต้นในการหมักต่างกัน.....	33

สารบัญภาพ

หน้า

รูปที่ 2.1 การสร้าง <i>E. coli</i> สายพันธุ์ที่ยืน <i>ldhA</i> บนดีเอ็นเอถูกทำลาย.....	19
รูปที่ 2.2 ขั้นตอนการสร้างพลาสมิดที่มียืน <i>ldhA</i> ของ <i>R. oryzae</i>	20
รูปที่ 2.3 ขั้นตอนการเลี้ยงเชื้อก่อนทำการหมักเพื่อปรับสภาพเซลล์.....	21
รูปที่ 2.4 แผนงานการสร้างดีเอ็นเอสยัตงตรงสำหรับการแทนที่ยืน <i>ldhA</i> บนดีเอ็นเอของ <i>E. coli</i> ด้วยยืน <i>ldhA</i> ของ <i>R. oryzae</i>	22
รูปที่ 3.1 การตรวจสอบความถูกต้องของผลิตภัณฑ์ PCR ที่มียืน <i>ldhA</i> ของ <i>R. oryzae</i> ก่อนตัดต่อ เข้าสู่พลาสมิด.....	34
รูปที่ 3.2 การตรวจสอบหาพลาสมิดที่มียืน <i>ldhA</i> ของ <i>R. oryzae</i> โดยการตัดด้วยเอนไซม์ <i>KpnI</i>	35
รูปที่ 3.3 การเจริญเติบโตและ clear zone ของ <i>E. coli</i> เมื่อได้รับพลาสมิดที่มียืน <i>ldhA</i> ของ <i>R. oryzae</i> .36	
รูปที่ 3.4 การหางภาวะที่เหมาะสมในการทำ error-Prone PCR ของยืน <i>ldhA</i> จาก <i>R. oryzae</i> โดยใช้พลาสมิด pRB85 เป็นดีเอ็นเอด้านแบบโดยทำการเปลี่ยนแปลงความเข้มข้นของ $MgCl_2$ และ $MnCl_2$	37
รูปที่ 3.5 การทำ XO PCR เพื่อสร้างชิ้นส่วนดีเอ็นเอที่มียืน <i>ldhA</i> ของ <i>R. oryzae</i> สำหรับแทนที่ยืน <i>ldhA</i> บนดีเอ็นเอของ <i>E. coli</i>	38

คำอธิบายสัญลักษณ์และคำย่อ

%	เปอร์เซ็นต์
°C	องศาเซลเซียส
$\mu\text{g/mL}$	ไมโครกรัมต่อมิลลิลิตร
μl	ไมโครลิตร
μm	ไมโครเมตร
Amp	Ampicilin
Amp^R	Ampicilin Resistance
<i>cat</i>	ยีน chloramphenicol acetyltransferase
CaCO_3	แคลเซียมคาร์บอนเนต
g	กรัม
g/L	กรัมต่อลิตร
<i>kan</i>	ยีนต้าน Kanamycin
Kan	Kanamycin
Kan^R	KanamycinResistance
L	ลิตร
LB	Luria-Bertani
<i>ldhA</i>	ยีน lactate dehydrogenase A
<i>ldhA::cat</i>	ยีน <i>pta</i> ที่ถูกทำลายด้วยการแทรกยีน <i>cat</i>
M	ไมครอ Hari อ ไมลต่อลิตร
mL	มิลลิลิตร
mM	มิลลิเมตร
PCR	Polymerase Chain Reaction

<i>pta</i>	ยีน phosphate acetyltransferase
<i>pta::kan</i>	ยีน <i>pta</i> ที่ถูกทำลายด้วยการแทรกยีนต้าน Kanamycin
RbCl	Rubidium Chloride
rpm	round per minute (รอบต่อนาที)
v/v	volume by volume (ปริมาตรต่อปริมาตร)
w/v	weight by volume (น้ำหนักต่อปริมาตร)
X-gal	5-bromo-4-chloro-3-indolyl- β -D-galactopyranoside
XO PCR	Cross-over Polymerase Chain Reaction

บทที่ 1

บทนำ

1.1 การทบทวนวรรณกรรม

กรดแลกติกถูกค้นพบครั้งแรกในปี ค.ศ.1780 โดย Carl Wilhelm Scheele นักเคมีชาวสวีเดนและใช้เพื่อเป็นสารให้สเปรี้ยวในนม ต่อมามีการนำกรดแลกติกไปใช้อย่างกว้างขวางในอุตสาหกรรมต่างๆ เช่น อุตสาหกรรมอาหาร และการนำไปสร้างเป็นพอลีเมอร์ เช่น พอลีแลกไทด์ (polylactides) เพื่อใช้ในทางการแพทย์ และการผลิตพลาสติกที่ย่อยสลายได้ทางชีวภาพ (Hester, 2000a; Kricheldorf, 2001) ทำให้มีแนวโน้มความต้องการที่เพิ่มขึ้นอย่างรวดเร็ว (Hester, 2000b)

ปัจจุบันกรดแลกติกสามารถผลิตได้ด้วยทั้งกระบวนการทางเคมีและกระบวนการหมักโดย จุลินทรีย์หลายชนิด (Narayanan *et al.*, 2004) จุลินทรีย์ที่นิยมใช้คันอย่างกว้างขวางในอุตสาหกรรมคือ แบปค์ที่เรียก *Lactobacillus spp.* แต่ปัจจุหาที่พบคือแบปค์ที่เรียก *จุลินทรีย์* ที่ต้องการสารอาหารที่ซับซ้อน และไม่สามารถผลิตกรดแลกติกในปริมาณมากที่ระดับ pH ต่ำกว่า 4 ซึ่งทำให้ประสิทธิภาพในการละลายลดลง เกิดการตกผลึกเป็นเกลือแลกเตท และทำให้ต้องเพิ่มขั้นตอนการสร้างกรดแลกติกมาจากการเกลือแลกเตท (Skory, 2003) จุลินทรีย์ชนิดอื่นที่มีการนำมาใช้ผลิตกรดแลกติก ได้แก่ ราจพาก *R. oryzae* ซึ่งสามารถผลิตกรดแลกติกในรูปไอโซเมอร์ L เป็นหลักจากแป้ง (starch) เชลลูโลส (cellulose) และไฮมิเซลลูโลส (Hemicellulose) โดยใช้เหล็กในต่อเจนจากเกลือแอมโมเนียม (ammonium salts) (Woiciechowski *et al.*, 1999) ซึ่งกรดแลกติกไอโซเมอร์ L เป็นที่นิยมใช้ในอุตสาหกรรมเกือบทุกประเภท ข้อดีของการผลิตกรดแลกติกด้วย *R. oryzae* คือใช้อาหารเลี้ยงเชื้อไม่ซับซ้อน นอกจากนี้ ผลิตภัณฑ์จากการเกษตร เช่น กาลมันสำปะหลัง เมื่อนำมาผ่านกระบวนการไฮโดรโลไซด์ (Hydrolysis) ด้วยกรดไฮโดรคลอริก (HCl) เพื่อให้ได้น้ำตาลกลูโคสปริมาณสูงสามารถนำมาใช้เป็นแหล่งคาร์บอนในอาหารเลี้ยงเชื้อ *R. oryzae* แต่การเลี้ยงเชื้อด้วยวิธีดังกล่าวพบการปนเปื้อนของเชื้อราในปริมาณสูง ซึ่งอาจเกิดจากปริมาณไนโตรเจนที่เพิ่มขึ้นจากการเตريยมอาหารเลี้ยงเชื้อดังกล่าว (Thongchul *et al.*, 2009) ข้อจำกัดอื่นๆ ของการผลิตกรดแลกติกโดยใช้ *R. oryzae* คือ กรดแลกติกที่ได้มีปริมาณน้อยเมื่อเทียบกับแบปค์ที่เรียกและปัจจุหาการปนเปื้อนของเชื้อราที่ถูกสร้างขึ้นระหว่างกระบวนการหมักในปริมาณสูง (Skory, 2004) นอกจากนี้ ศรีรัชวิทยาของ *R. oryzae* ที่ไม่เหมาะสมต่อกระบวนการหมักในถังปฏิกรณ์ชีวภาพ (Narayanan *et al.*, 2004) ดังนั้นจึงมีความพยายามในการใช้ยีนที่เกี่ยวข้องกับการ

สังเคราะห์กรดแลกติกไอโซเมอร์ L แสดงออกในจุลินทรีย์อื่นๆ ที่เลี้ยงง่าย และมีความเป็นไปได้ที่จะผลิตกรดแลกติกในปริมาณมาก

ขั้นตอนสุดท้ายของการสังเคราะห์กรดแลกติกจากกลูโคสคือ การเปลี่ยนกรดไพรูวิคให้เป็นกรดแลกติก ซึ่งปฏิกิริยานี้อาศัยเอนไซม์แลกเตทดีไโอลอร์จีเนส (lactate dehydrogenase) เป็นตัวเร่งปฏิกิริยา ซึ่งเอนไซม์นี้ยังเป็นตัวกำหนดไอโซเมอร์ของกรดแลกติกที่จุลินทรีย์แต่ละชนิดสร้างอีกด้วย (Ferain *et al.*, 1994) สำหรับ *R. oryzae* มีการสังเคราะห์เอนไซม์แลกเตทดีไโอลอร์จีเนสสองชนิด คือ แลกเตทดีไโอลอร์จีเนส A และ B ซึ่งสร้างจากยีน *ldhA* และ *ldhB* ตามลำดับ (Skory, 2000) ยีนทั้งสองนี้มีลำดับเบสคล้ายกัน 93.1% (Saito *et al.*, 2004) ซึ่งมีการสันนิษฐานว่า *ldhA* ทำหน้าที่เร่งปฏิกิริยาเปลี่ยนกรดไพรูวิกเป็นกรดแลกติก ในขณะที่ *ldhB* กีழข่องกับปฏิกิริยาการเปลี่ยนกรดแลกติกเป็นกรดไพรูวิกเมื่อ *R. oryzae* เลี้ยงในกลีเซอรอล เอทานอล หรือแลกเตท (Skory, 2000) ทั้งนี้ *R. oryzae* สามารถแบ่งได้เป็นสองกลุ่ม คือ กลุ่มที่สร้างกรดแลกติก (LA group) และกลุ่มที่สร้างกรดฟอยูริกหรือกรดมาลิก (FMA group) ในอาหารเลี้ยงเชื้อเหลว โดยกลุ่มที่สร้างกรดแลกติกมีทั้งยีน *ldhA* และ *ldhB* แต่กลุ่มที่สร้างกรดฟอยูริกหรือกรดมาลิก มีเพียงยีน *ldhB* (Saito *et al.*, 2004) อย่างไรก็ตาม ทั้ง *ldhA* และ *ldhB* จาก *R. oryzae* สามารถแสดงออกและคืนความสามารถในการผลิตกรดแลกติกใน *E. coli* สายพันธุ์ที่ไม่สามารถสร้างกรดแลกติกได้

การผลิตกรดแลกติกในปัจจุบันได้นำพันธุ์วิศวกรรมเข้ามาเกี่ยวข้อง เช่น การตัดต่อยีน *ldhA* ของ *R. oryzae* ใส่ในพลาสมิดเพื่อนำไปแสดงออกในเชื้อ *Saccharomyces cerevisiae* เพื่อวิธีนี้ยังพบปัญหาเนื่องจากกรดแลกติกที่ได้มีปริมาณไม่มากและยังพบการปนเปื้อนของเอทานอล (Skory, 2003) การตัดต่อพันธุกรรมโดยการนำยีน *L-LDH* จากวัว *Bos Taurus* จำนวน 2 ชุดใส่เข้าในเชื้อ *Candida utilis* ภายใต้การควบคุมของโปรโนเมเตอร์ *CuPDC1* พบว่าการผลิตแลกติกได้ดี แต่การผลิตกรดแลกติกเกิดขึ้นที่อุณหภูมิจำกัดที่ 5-35°C เท่านั้น (Ikushima *et al.*, 2009) ในแบบที่เรียก *Enterobacter asburia* เมื่อใช้เทคนิคพันธุ์วิศวกรรมลบที่ *pflB* และ *als* ซึ่งจำเป็นในการสร้างเอทานอล อะซิเตทและ 2,3-บิวทานไดออล (2,3-butanediol) พบว่าสามารถผลิตกรดแลกติกบริสุทธิ์ไอโซเมอร์ D ได้โดยการใช้เอมิเซลลูลาสที่ได้จากการกระบวนการไโอลอร์ไลซิสจากดินไม้และผลิตผลจากการเกษตร เช่น sweetgum เป็นอาหารเลี้ยงเชื้อ แต่วิธีดังกล่าวขึ้นสามารถผลิตกรดแลกติกได้น้อยและยังประสบปัญหาที่จุลินทรีย์เจริญเติบโตได้ในอาหารเลี้ยงเชื้อบางชนิดเท่านั้น (Bi *et al.*, 2009) ในการผลิตกรดแลกติกไอโซเมอร์ D จากแบบที่เรียก *Lactobacillus plantarum* สายพันธุ์ที่ถูกทำลายยีน *ldhL1* โดยใช้แป้งข้าวโพดดิบเป็นอาหาร โดยแบบที่เรียกที่ใช้ได้นำพลาสมิดที่มียีน *amyA* ซึ่งสร้างเอนไซม์ α -amylase จาก *Streptococcus bovis* ทำให้แบบที่เรียกดังกล่าวสามารถย่อยแป้งเป็นกลูโคสเพื่อผลิตกรดแลกติกไอโซเมอร์ D บริสุทธิ์ได้ปริมาณ

ก่อนข้างสูง ทั้งนี้เพื่อหลีกเลี่ยงการใช้ยาปฏิชีวนะในการรักษาพลาสมิดไว้ในเซลล์ ขณะผู้วิจัยได้นำยีน *amyA* ใส่ในโกร莫โซมของ *L.plantarum* สายพันธุ์ดังกล่าว พบว่าสามารถผลิตกรดแลกติกได้มากกว่า การใช้พลาสมิด (Okano *et al.*, 2009a) *L.plantarum* สายพันธุ์ดังกล่าวยังได้ถูกใช้เพื่อนำพลาสมิดที่มียีน *celA* ซึ่งสร้าง.enzyme endoglucanase จาก *Clostridium thermocellum* เพื่อใช้ย่อย β -glucan ในอาหาร เลี้ยงเชื้อ พบว่าผลิตผลที่ได้เป็นกรดอะซิติกที่เปลี่ยนมาจากกรดแลกติก ซึ่งการเลี้ยงเชื้อโดยไม่ให้ ออกซิเจนสามารถลดการเปลี่ยนกรดแลกติกเป็นกรดอะซิติกได้บางส่วน (Okano *et al.*, 2009b) แบบที่เรียกว่า *Leuconostoc citreum* ซึ่งโดยปกติผลิตกรดแลกติกไอโซเมอร์ D ในอาหารหมักดอง สามารถผลิตกรดแลกติกชนิดไอโซเมอร์ L โดยใช้การแสดงออกของยีน *ldhL* จาก *L.plantarum* ที่ตัดต่อ ใส่พลาสมิด แต่ปริมาณไพรูเวทที่ใช้เพื่อเปลี่ยนเป็นกรดแลกติกไอโซเมอร์ L ไม่ได้นำมาจากการไพรูเวท ที่ใช้เพื่อเปลี่ยนเป็นกรดแลกติกไอโซเมอร์ D มากนัก (Jin *et al.*, 2009)

ในโครงการวิจัยนี้เลือกใช้ *E.coli* เป็นเซลล์เข้าบ้านเพื่อให้ยีน *ldhA* จาก *R. oryzae* แสดงออก และ ใช้เทคนิคด้านพันธุศาสตร์โมเลกุลในการปรับปรุงสายพันธุ์จุลินทรีย์ดังกล่าวเพื่อผลิตกรดแลกติกไอโซ เมอร์ L เนื่องจาก *E. coli* เป็นแบบที่เรียกว่า “error-prone PCR” มาใช้ในการปรับปรุง *E. coli* สายพันธุ์นี้อีกด้วย โดยเทคนิคดังกล่าวคือให้เกิดการกลายพันธุ์แบบสุ่มในยีน *ldhA* สำหรับเทคนิค error-prone PCR นี้ได้ถูกนำมาใช้ในการปรับปรุงสายพันธุ์จุลินทรีย์หลายชนิด เช่น การเพิ่มคุณสมบัติ การทนความร้อนในเอนไซม์ไฟเตส (phytase) App2 ใน *E. coli* (Kim and Lei, 2008) หลักการของ เทคนิค error-prone PCR คือการเพิ่มอัตราการกลายพันธุ์ของสารพันธุกรรมที่สนใจโดยการควบคุม ระบบการเพิ่มปริมาณดีเอ็นเอในกระบวนการ PCR เช่น การเปลี่ยนความเข้มข้นแมกนีเซียมคลอไรด์ ($MgCl_2$) การเติมแมกนีสเคลอไรด์ ($MnCl_2$) หรือการเปลี่ยนแปลงความเข้มข้นของนิวคลีโอไทด์ (nucleotides) แต่ละชนิดในปฏิกิริยา PCR (Pritchard *et al.*, 2005) จากนั้นทำการคัดเลือกโคุณที่ สามารถผลิตกรดแลกติกได้ในปริมาณสูง และทำการวิเคราะห์การเปลี่ยนแปลงของลำดับสาร พันธุกรรมในของยีน *ldhA* จาก *R. oryzae* ซึ่งเทคโนโลยีดังกล่าวสามารถช่วยปรับปรุงสายพันธุ์ของ จุลินทรีย์โดยทำให้อ่อนเอนไซม์ lactate dehydrogenase A ทำงานได้ดีขึ้นและส่งผลให้ผลิตกรดแลกติกไอโซ เมอร์ L ได้มากขึ้น ทั้งนี้กระบวนการผลิตกรดแลกติกที่มีประสิทธิภาพสามารถตอบสนองความต้องการ กรดแลกติกเพื่ออุตสาหกรรมต่างๆ โดยเฉพาะอุตสาหกรรมพลาสติกที่ย่อยสลายได้ทางชีวภาพที่ ปัจจุบันการผลิตกรดแลกติกเพื่อเป็นสารตั้งต้นยังไม่เพียงพอและยังมีต้นทุนการผลิตสูง

1.2 ความสำคัญและที่มาของปัจจัยที่ทำการวิจัย

ปัจจุบันผลกระทบจากสภาวะโลกร้อนส่งผลอย่างมากต่อมวลนุยชาติ สาเหตุสำคัญอันหนึ่งเนื่องจากการใช้พลาสติกที่ไม่สามารถย่อยลายได้ตามกระบวนการทางธรรมชาติ ก่อให้เกิดการสะสมของขยะดังกล่าว รวมถึงรากน้ำมันปิโตรเลียมซึ่งเป็นส่วนประกอบสำคัญของพลาสติกที่ปรับตัวสูงขึ้นอย่างต่อเนื่อง ทำให้เกิดการตื้นตัวในการหาวัสดุทางเลือกใหม่เพื่อนำมาผลิตพลาสติกที่เป็นมิตรต่อสิ่งแวดล้อม กรณีแลกติกเป็นทางเลือกหนึ่งที่ได้รับความสนใจเป็นอย่างมากเนื่องจากกรณีแลกติกสามารถนำมาสร้างในรูปอลิเมอร์ของกรณีแลกติก (polylactic acid) ซึ่งมีคุณสมบัติคล้ายโพลิโอลีฟิน (polyolefins) ทั้งนี้ในปัจจุบันกรณีแลกติกได้จากการหมักน้ำตาลกับโคสตัวแบบที่เรียกว่า *Lactobacilli* ซึ่งมีต้นทุนสูงและยังไม่บริสุทธิ์เพียงพอสำหรับการสังเคราะห์เป็นพอลิเมอร์ ดังนั้นการพัฒนากระบวนการผลิตกรณีแลกติกจึงมีความสำคัญอย่างยิ่ง พันธุ์วิศวกรรมจึงเป็นทางเลือกหนึ่งที่นำมาใช้เพื่อการปรับปรุงสายพันธุ์แบบที่เรียกแต่เนื่องจากการหมักน้ำตาลกับโคสตัวแบบที่เรียกว่า *Lactobacilli* มักเกิดความไม่สงบหรือการริบบิ้ง (*ribofication*) ซึ่งเลือก *Escherichia coli* ใน การปรับปรุงสายพันธุ์ ซึ่ง *E. coli* เป็นสิ่งมีชีวิตที่ใช้กันอย่างกว้างขวางในการตัดต่อพันธุกรรม ข้อดีสำหรับการใช้แบบที่เรียกนิมนต์คือ เลี้ยงง่ายและโดยรวมด้วยอาหารเลี้ยงเชื้อที่ไม่ซับซ้อน และข้อมูลทางพันธุกรรมมีการศึกษาอย่างกว้างขวาง ดังนั้นเพื่อตอบสนองต่อความต้องการกรณีแลกติกที่เพิ่มขึ้นอย่างมากในทางอุตสาหกรรม การพัฒนาการผลิตกรณีแลกติกโดยใช้เทคนิคด้านพันธุศาสตร์โมเลกุลปรับปรุงสายพันธุ์ *E. coli* จึงเป็นอีกทางเลือกหนึ่งที่มีความเป็นไปได้สูงสำหรับการผลิตกรณีแลกติกในอนาคต ซึ่งความรู้ที่ได้รับจะนำไปสู่เทคโนโลยีการผลิตกรณีแลกติกบริสุทธิ์ที่มีประสิทธิภาพเพื่อให้สามารถนำไปใช้เป็นสารตั้งต้นในทางอุตสาหกรรมได้ และยังสามารถนำไปประยุกต์กับการปรับปรุงสายพันธุ์จุลินทรีย์เพื่อวัตถุประสงค์อื่นๆด้วย

1.3 วัตถุประสงค์ของโครงการวิจัย

ปรับปรุงสายพันธุ์จุลินทรีย์โดยใช้เทคนิคด้านพันธุศาสตร์โมเลกุลเพื่อพัฒนาการผลิตกรณีแลกติกบริสุทธิ์ที่มีประสิทธิภาพสำหรับนำไปใช้เป็นสารตั้งต้นในทางอุตสาหกรรม

1.4 ขอบเขตของโครงการวิจัย

ในโครงการวิจัยนี้จะใช้เทคนิคด้านพันธุศาสตร์โมเลกุลในการปรับปรุงสายพันธุ์ *E. coli* เพื่อการผลิตกรณีแลกติก โดยใช้การแสดงออกของยีน *ldhA* จาก *R. oryzae* ใน *E. coli* เนื่องจากยีน *ldhA* ใน *R. oryzae* สังเคราะห์oen ไซม์แลกเตทีไอกอโรเจนส์ (Lactate Dehydrogenase A) และoen ไซม์ดังกล่าวจะเปลี่ยนกรดไพรูวิค (pyruvic acid) ให้กลายเป็นกรดแลกติกไอกอโซเมอร์ L ซึ่งเป็นที่ต้องการในอุตสาหกรรมเกือบทุกประเภท โดยยีน *ldhA* จาก *R. oryzae* จะถูกตัดต่อใส่พลาสติกก่อนจะนำเข้าสู่ *E.*

coli สายพันธุ์ที่มี *pta* และ *ldhA* ถูกทำลายทั้งนี้เพื่อลดการปนเปื้อนจากสารที่สร้างขึ้นระหว่างกระบวนการหมักและให้ยืน *ldhA* จาก *R. oryzae* บนพลาสมิคเท่านั้นที่แสดงออกตามลำดับ จากนั้นทำการปรับปรุงสายพันธุ์ *E. coli* โดยใช้เทคนิค error-prone PCR เพื่อทำให้เกิดการกลายพันธุ์แบบสุ่มของยีน *ldhA* จาก *R. oryzae* พลิกกัณฑ์ที่ได้จากการดังกล่าวนำไปตัดต่อใส่พลาสมิค pBluescript II KS(+)แล้วนำเข้าสู่ *E. coli* สายพันธุ์ RB7 ที่มี *ldh* และ *pta* ถูกทำลายแล้วทำการคัดเลือกโคลoniที่ผลิตกรดแแลกติกในปริมาณมาก พลาสมิคจากโคลoniที่ผลิตกรดแแลกติกได้ปริมาณมากได้ถูกสกัดเพื่อนำไปวิเคราะห์การเปลี่ยนแปลงลำดับนิวคลีโอไทด์บนบริเวณยีน *ldhA*ของ *R. oryzae* นอกจากนี้โคร่งการวิจัยนี้ได้ศึกษาปัจจัยอื่นที่มีผลต่อการผลิตกรดแแลกติกไออกซเมอร์ L จาก *E. coli* ที่ได้รับการปรับปรุงสายพันธุ์ เช่น ปริมาณกลูโคสในอาหารเดียวกับรวมถึงศึกษาความเป็นไปได้ในการนำยีน *ldhA* จาก *R. oryzae* ตัดต่อลงบนดีเอ็นเอของ *E. coli*

1.5 ทฤษฎี และรอบแหนความคิดของโคร่งการวิจัย

เนื่องจากการสกัดกรดแแลกติกจาก *R. oryzae* ซึ่งเป็นชนิดไออกซเมอร์ L ที่เป็นที่ต้องการในอุตสาหกรรมเกือบทุกประเภทยังประสบปัญหา เช่น ได้กรดแแลกติกในปริมาณน้อย เนื่องจาก *R. oryzae* เป็นสิ่งมีชีวิตที่เจริญเติบโตค่อนข้างช้าเมื่อเปรียบเทียบกับแบคทีเรีย ดังนั้นการใช้ปรับปรุงสายพันธุ์ จุลินทรีย์ที่โตง่ายและไม่มีปัญหาในกระบวนการหมัก เช่น *E. coli* จึงเป็นทางเลือกที่เป็นไปได้ในการผลิตกรดแแลกติกบริสุทธิ์ โดยจะทำการปรับปรุงยีน *ldhA* ของ *R. oryzae* ที่ให้แสดงออกใน *E. coli* โดยใช้เทคนิค error-prone PCR ซึ่งเทคนิคได้ถูกใช้เพื่อปรับปรุงสายพันธุ์จุลินทรีย์เพื่อผลิตสารต่างๆ เช่น การผลิตปรับปรุงเอนไซม์ไฟเตส (phytase) จากยีน AppA2 ใน *E. coli* ให้มีคุณสมบัติทนความร้อนได้ดีขึ้น (Kim and Lei, 2008) โดยเทคนิคดังกล่าวจะถูกใช้เพื่อทำให้ยีน *ldhA* ของ *R. oryzae* เกิดการเปลี่ยนแปลงและผลิตกรดแแลกติกได้ในปริมาณที่มากขึ้นซึ่งจะทำให้เกิดกระบวนการผลิตกรดแแลกติกที่มีประสิทธิภาพเพื่อเป็นสารตั้งต้นในอุตสาหกรรมต่อไป

1.6 วิธีการดำเนินการวิจัยโดยสรุป

1. การเตรียม *E. coli* สายพันธุ์ที่เหมาะสม
2. การตัดต่อยีน *ldhA* ของ *R. oryzae* ใส่ในพลาสมิคและคัดเลือกพลาสมิคถูกต้อง
3. การใส่พลาสมิคจากข้อ 2 ใน *E. coli* สายพันธุ์ที่เตรียมในข้อ 1.
4. วิเคราะห์ปริมาณผลผลิตกรดแแลกติกไออกซเมอร์ L ที่ผลิตได้จาก *E. coli* สายพันธุ์ที่คัดเลือกในข้อ 3. ที่ภาวะต่างๆในระดับ Shake Flask

5. สรักดพลาสมิดที่ได้จากสายพันธุ์ข้อ 3. แล้วทำให้เกิดการกลายพันธุ์ของยีน *ldhA* ของ *R.oryzae* แบบสุ่มคั่วยิชี error-prone Polymerase Chain Reaction (error-prone PCR)

6. นำผลิตภัณฑ์สารพันธุ์กรรมที่ได้จากข้อ 5. ใส่ในพลาสมิด แล้วนำไปสู่ใน *E. coli* สายพันธุ์ที่เตรียมไว้ในข้อ 1.

7. การคัดเลือกโคลนที่คาดว่าผลิตกรดแลกติกในปริมาณมาก การวิเคราะห์ปริมาณผลผลิตกรดแลกติกไอโซเมอร์ L ที่ผลิตได้และปริมาณน้ำตาลกลูโคสที่เหลือในอาหารเลี้ยงเชื้อในระดับ Shake flask

8. การศึกษาผลของปริมาณน้ำตาลกลูโคสต่อการผลิตกรดแลกติกจาก *E. coli* ที่ได้รับการปรับปรุงสายพันธุ์

9. สรักดพลาสมิดจากโคลนที่ได้ในข้อ 7. แล้วนำไปวิเคราะห์การเปลี่ยนแปลงลำดับสารพันธุ์กรรมของยีน *ldhA* ของ *R.oryzae*

10. ศึกษาความเป็นไปได้ในการตัดต่อยีน *ldhA* ของ *R. oryzae* ลงบนคีเอ็นเอของ *E. coli*

1.7 ประโยชน์ที่คาดว่าจะได้รับ

1. ผลงานที่ได้สามารถนำไปจดสิทธิบัตรและ/หรือเผยแพร่ในวารสารหรืองานประชุมวิชาการได้
2. ได้สายพันธุ์จุลินทรีย์ที่สามารถผลิตกรดแลกติกได้อย่างมีประสิทธิภาพสำหรับผลิตกรดแลกติกเพื่อเป็นสารตั้งต้นในอุตสาหกรรมต่างๆ เช่น การผลิตพลาสติกชีวภาพ
3. สามารถนำความรู้ที่ได้ไปพัฒนาและประยุกต์ใช้ปรับปรุงสายพันธุ์จุลินทรีย์อื่นๆ

บทที่ 2

อุปกรณ์ วิธีดำเนินงานวิจัย

2.1 อุปกรณ์

เครื่อง PCR

Applied Biosystems, Singapore

(Polymerase Chain Reaction Thermocycler)

เครื่องเขย่าผสมรุ่น Vortex-Genie2

Scientific Industries, USA

(Vortex mixer: model Vortex-Genie2)

เครื่องเขย่าเดียงเชือกควบคุมอุณหภูมิ

New Brunswick Scientific, USA

(Refrigerated incubator shaker : model Innova 4330)

เครื่องชั่งแบบละเอียดรุ่น FX-180

A&D Co., Ltd., Japan

(Electronic balance : model FX-180)

เครื่องชั่งแบบหยาบ รุ่น FX-3000

A&D Co., Ltd, Japan

(Electronic balance : model FX-3000)

เครื่องทำให้สารแตกตัวโดยใช้คลื่นเสียง รุ่น UD-201

Tomy Seiko Co., Ltd., Japan

(Ultrasonic disruptor model : UD-201)

เครื่องบันทึกภาพเจลภายในได้แสงยูวี

UVItec, UK

(Uvitec Platinum Gel Documentation system)

เครื่องปั่นเหวี่ยงความเร็วสูงชนิดควบคุมอุณหภูมิ

Kubota cooperating, Japan

(Refrigerated high speed centrifuge)

เครื่องปั่นเหวี่ยงหลอด micro-tube ความเร็วสูงรุ่น MTX-150 Tomy Seiko Co., Ltd., Japan

(High speed micro refrigerated centrifuge : model MTX-150)

เครื่องวัดความเป็นกรด-ด่าง

Mettler Toledo, USA

(pH meter)

เครื่องวิเคราะห์ปริมาณน้ำตาล รุ่น 2700

YSI, Inc., USA

(YSI Select Biochemistry Analyzer model : 2700)

เครื่องวิ่งเจลอะก้าโรส

ADVANCE Co., Ltd., Japan

(Agarose gel electrophoresis equipments)

เครื่องอบฆ่าเชื้อด้วยไอน้ำ

Taladlab, Thailand

(Autoclave)

เครื่องอังน้ำ

Yamato, Japan

(Water bath)

ชุดทำ cloning

Promega, USA

(pGEM[®]-T VectorEasy System)

ชุดทำ cloning

Invitrogen, USA

(TOPO[®] Cloning Kits)

ชุดทำสภาวะไม่มีออกซิเจน

MISUBISHI GAS CHEMICAL, CO., INC,

(AnaeroPack[®] Anarero)

Japan

ชุดสกัดดีเอ็นเอออกจากเจล

MACHEREY-NAGEL, Germany

(NucleoSpin[®] Extract II Kits)

ชุดสกัดพลาสมิด

MACHEREY-NAGEL, Germany

(NucleoSpin[®] plasmid)

ตู้แช่แข็ง -20°C

Sanyo, Japan

(Freezer -20°C)

ตู้แช่แข็ง -70°C

Sanyo, Japan

(Freezer -70°C)

ตู้ป้องเชื้อรุ่น HF safe-12006 (Laminar flow: model HF safe-12006)	Heal Force, China
ตู้เพาะเชื้อ อุณหภูมิ 37°C (Growth cabinet)	Sanyo, Japan
ตู้อบแห้งรุ่น UNB-400 (Oven : model UNB-400)	Memmert Co.,Ltd., Germany
ไมโครปีเปตรุ่น Discovery Comfort (Micro auto pipette: model Discovery Comfort)	Mettler Toledo, USA
2.2 จุลินทรีย์ พลาสมิด และไพรเมอร์	
2.2.1 พลาสมิด	
pCR® 2.1-TOPO	Invitrogen, USA
pBluescriptII KS(+)	Agilent Technologies, USA
pGEM® -T Vector	Promega, USA
pKD46	(Datsenko and Wanner, 2000)
pML1	Dr. Steven Sandelr's lab, USA
pRB73	พลาสมิด pGEM® -T Vector ที่มีบางส่วนของยีน <i>ldhA</i> ของ <i>E.coli</i> โดยตรงกลางมีบริเวณตัดจำเพาะ ด้วย <i>Bs</i> I
pRB74	พลาสมิด pGEM® -T Vector ที่มีบางส่วนของยีน <i>ldhA</i> ของ <i>E.coli</i> โดยตรงกลางแทรกยีน <i>cat</i>
pRB85	พลาสมิด pBluescriptII KS(+) ที่มียีน <i>ldhA</i> ของ <i>R. oryzae</i>
pRB86	พลาสมิด pCR® 2.1-TOPO® ที่มีผลิตภัณฑ์จากการทำ XO PCR ส่วนบริเวณ 700 คู่เบสหนึ่ง Start codon ของยีน <i>ldhA</i> ของ <i>E. coli</i> กับยีน <i>ldhA</i> ของ <i>R. oryzae</i>
pAOY4	พลาสมิด pBluescript II KS(+) ที่มีผลิตภัณฑ์จากการทำ error-prone PCR ของ

ขีน *ldhA* ของ *R. oryzae*

2.2.2 จุลินทรีย์

<i>R. oryzae</i> สายพันธุ์ NRRL395	Northern Regional Research Laboratory, USA
<i>E. coli</i> competent cells สายพันธุ์ Super ⁹ HIT-DH5a	United Bioinformatics Inc., Canada
<i>E. coli</i> K-12 สายพันธุ์ JC13509	Dr. Steven Sandel's lab, USA
<i>E. coli</i> K-12 สายพันธุ์ SS4075	เป็นสายพันธุ์ BW25113ที่มียีน <i>pta::kan</i> ได้รับจาก Dr. Steven Sandel's lab, USA
RB1	พลาสมิด pRB73 ใน <i>E. coli</i> DH5a
RB2	พลาสมิด pRB74 ใน <i>E. coli</i> DH5a
RB5	Linear Transformation ขึ้นส่วนดีเอ็นเอจาก <i>E. coli</i> JC13509 ทำให้เกิดจีโนไทป์ <i>ldhA::cat</i>
RB6	P1 transduction SS4075→JC13509 ทำให้เกิดจีโนไทป์ <i>pta::kan</i>
RB7	P1 transduction RB5→RB6 ทำให้เกิดจีโนไทป์ <i>ldhA::cat pta::kan</i>
RB19	พลาสมิด pRB85 ใน <i>E. coli</i> DH5a
RB24	พลาสมิด pRB85 ใน RB7
RB29	พลาสมิด pBluescriptII KS(+)ใน RB7
RB30	พลาสมิด pRB85 ใน JC13509
RB31	พลาสมิด pBluescriptII KS(+)ใน JC13509
RB32	พลาสมิด pRB86 ใน <i>E. coli</i> DH5a
TW4	พลาสมิด pAOY4 ใน RB7

2.2.3 ไพรเมอร์

- prRB1 5' ACAGGTGG**GATCCGTCCTTG** 3'
 (บริเวณที่ปิดเส้นได้คือบริเวณตัดจำเพาะของเอนไซม์ *BamHI*)
- prRB2 5' ACCGGTACCG**CGTACGCC**TGCCG 3'
 (บริเวณที่ปิดเส้นได้คือบริเวณตัดจำเพาะของเอนไซม์ *BsiWI*)
- prRB3 5' CGGCAGG**CGTACGCGGTACCGGT** 3'
 (บริเวณที่ปิดเส้นได้คือบริเวณตัดจำเพาะของเอนไซม์ *BsiWI*)
- prRB4 5' GGAATACGG**AAATTCTGGATCACG** 3'
 (บริเวณที่ปิดเส้นได้คือบริเวณตัดจำเพาะของเอนไซม์ *EcoRI*)
- prRB5 5' GTAGCG**CGTACGATGATTCCGGGGATCCGTCG** 3'
 (บริเวณที่ปิดเส้นได้คือบริเวณตัดจำเพาะของเอนไซม์ *BsiWI*)
- prRB6 5' CCATGCC**CGTACGTGTAGGCTGGAGCTGCTTCG** 3'
 (บริเวณที่ปิดเส้นได้คือบริเวณตัดจำเพาะของเอนไซม์ *BsiWI*)
- prRB33 5' CTCAGTT**TAGGATCCAAGCAGTC** 3'
 (บริเวณที่ปิดเส้นได้คือบริเวณตัดจำเพาะของเอนไซม์ *BamHI*)
- prRB34 5' TGTGT**AAGCTTACAATTGATTGT** 3'
 (บริเวณที่ปิดเส้นได้คือบริเวณตัดจำเพาะของเอนไซม์ *HindIII*)
- prRB36 5' CTCAGTT**TAGAATCGAAGCAGTCAATG** 3'
- prRB37 5' TGTGT**CGTACGTACAATTGATTGT** 3'
 (บริเวณที่ปิดเส้นได้คือบริเวณตัดจำเพาะของเอนไซม์ *BsiWI*)
- prRB38 5' CATTGACTGCTTCGATTCTATAAA**ACTGAGAAGACTTCTCCAGTGATGTTG** 3'
- prRB39 5' ACAATCGAATTGT**ACGTACGACACATCTGCCGCTCCCTGCATTCCAGG** 3'

(บริเวณที่ปิดเส้นได้คือบริเวณตัดจำเพาะของเอนไซม์ *BsiWI*)

prRB40 5' CGCCCGGATCCGCAGTTGCTGGAT 3'

(บริเวณที่ปิดเส้นได้คือบริเวณตัดจำเพาะของเอนไซม์ *BamHI*)

prRB41 5' GCGTCGGGATCCCAGTAGTGGAG 3'

(บริเวณที่ปิดเส้นได้คือบริเวณตัดจำเพาะของเอนไซม์ *BamHI*)

prRB44 5' CCGGTACCTACCTTGACACGACCCG 3'

prRB45 5' CGGGT~~CGTGTCAAGGTAGGTACCGG~~ 3'

2.3 การเตรียม *E. coli* สายพันธุ์ที่เหมาะสมเพื่อการแสดงออก

ในขั้นตอนของการสร้างสายพันธุ์ที่เหมาะสมสมเพื่อการแสดงออกนี้ *E.coli* ทุกสายพันธุ์ถูกเลี้ยงในอาหารเลี้ยงเชื้อ LB ชนิดเหลวหรืออาหารเลี้ยงเชื้อ LB ชนิดแข็งซึ่งเติมยาปฏิชีวนะตามความเหมาะสม โดยมีความเข้มข้นสุดท้ายดังนี้ Ampicillin 100 µg/mL, Chloramphenicol 25 µg/mL และ Kanamycin 100 µg/mL

การแสดงออกของยีน *ldhA* จากสิ่งมีชีวิตอื่นเมื่อเข้าสู่ *E.coli* จะเกิดขึ้นได้เมื่อมีการทำลายยีน *ldhA* บนดีเอ็นเอของ *E.coli* เพื่อป้องกันการแสดงออกของยีน *ldhA* บนดีเอ็นเอของตัวเอง ซึ่งการทำลายยีน *ldhA* นี้ได้ใช้เทคนิค XO PCR และ Linear Transformation (รูปที่ 2.1) เริ่มต้นจาก การทำ PCR โดยใช้ดีเอ็นเอของ *E. coli*สายพันธุ์ JC13509 เป็นดีเอ็นเอต้นแบบเพื่อให้ได้ชิ้นส่วนดีเอ็นเอ 2 ชิ้น โดยชิ้นที่ 1 ใช้ไพรเมอร์ prRB1 และ prRB2 ซึ่ง prRB1 จับที่ส่วนต้นของยีน *ldhA* ของ *E.coli* และมีการเหนี่ยวนำให้เกิดบริเวณตัดจำเพาะด้วย *BamHI* ส่วน prRB2 จับส่วนกลางของยีน *ldhA* และมีการเหนี่ยวนำให้เกิดบริเวณตัดจำเพาะด้วย *BsiWI* ส่วน prB4 จับที่ส่วนปลายของยีน *ldhA* ของ *E.coli* และมีการใส่บริเวณตัดจำเพาะด้วย *EcoRI* ดังนั้นชิ้นส่วนดีเอ็นเอทั้งชิ้นมีส่วนของลำดับนิวคลีโอไทด์บางส่วนที่เหมือนกันจาก prRB2 และ prRB3 และสามารถทำการเชื่อมติดกันได้ด้วยวิธี Primerless PCR ซึ่งคือการทำ PCR โดยไม่ใส่ไพรเมอร์ จากนั้นทำการเพิ่มจำนวนผลิตภัณฑ์ PCR ที่ได้จาก Primerless PCR อีกครั้งด้วยไพรเมอร์ prRB1 และ pRB4 แล้วทำการสกัดชิ้นส่วนดีเอ็นเอซึ่งเป็นชิ้นส่วนของยีน *ldhA* ของ *E. coli* โดยใช้ชุด pGEM®-T Vector Easy System (Promega, USA) ชิ้นส่วนดีเอ็นเอนี้ถูกเก็บไว้ในพลาสมิด pGEM®-T Vector โดยเมื่อโคลนยืนแล้วพลาสมิดที่ได้มีชื่อ pRB73 จากนั้นทำการทำลายยีน

ldhA ของ *E. coli* โดยการแทรกขินด้านยาปฏิชีวนะ Chloramphenicol (ยีน *cat*) ซึ่งตัดจากพลาสมิด pML1 ด้วยเอนไซม์ *Bsi*WI แล้วแทรกเข้าพลาสมิด pRB73 ซึ่งตัดด้วย *Bsi*WI ตรงกลางยีน *ldhA* แล้วทำการเชื่อมต่อดีเอ็นเอ (DNA ligation) เมื่อเชื่อมต่อ กัน ขึ้นส่วนยีน *ldhA* มียีน *cat* แทรกตรงกลางทำให้ยีน *ldhA* ทำงานไม่ได้ แล้วคัดเลือกโคโนนีที่สามารถโตได้บนอาหารแข็ง LB ที่มี Chloramphenicol จากนั้นสกัดพลาสมิดแล้วตรวจสอบความถูกต้อง พลาสมิดที่ถูกเลือกและได้ตรวจสอบความถูกต้องแล้วมีชื่อว่า pRB74

หลังจากนั้นนำพลาสมิด pRB74 ตัดด้วยเอนไซม์ *Bam*HI และ *Eco*RI แล้วสกัดชิ้นส่วนดีเอ็นเอ *ldhA::cat* เพื่อนำไปแทนที่ยีน *ldhA* บนดีเอ็นเอของ *E. coli* ด้วยวิธี Linear Transformation โดย competent cells ที่ใช้มีพลาสมิด pKD46 (Datsenko and Wanner, 2000) แล้วคัดเลือก *E. coli* ที่ยีน *ldhA* ถูกทำลายด้วยการเลี้ยงบนอาหารแข็ง LB ที่มี Chloramphenicol และตรวจสอบความถูกต้องว่ายีน *ldhA* ที่ถูกทำลายด้วยวิธี PCR ตั้งชื่อสายพันธุ์นี้ว่า RB5 จากนั้นนำสายพันธุ์ RB5 ไปทำ P1 lysate เพื่อให้ P1 bacteriophage นำชิ้นส่วนดีเอ็นเอ *ldhA::cat* เข้าแทนที่ *ldhA* บนดีเอ็นเอของ *E. coli* สายพันธุ์ RB6 ตามวิธี P1 transduction (Willetts et al., 1969) ซึ่ง *E. coli* สายพันธุ์ RB6 นั้นยีน *pta* ถูกทำลายเพื่อลดผลพลอยได้ที่เกิดขึ้นในกระบวนการหมักด้วยวิธี P1 transduction เช่นกัน โดยชิ้นส่วน *pta::kan* นั้นนำมาจาก *E. coli* สายพันธุ์ SS4075 โดย *E. coli* สายพันธุ์ที่ยีน *ldhA* และ *pta* บนดีเอ็นเอถูกทำลายสามารถคัดเลือกบนอาหารแข็ง LB ที่มี kanamycin และ Chloramphenicol จากนั้นตรวจสอบความถูกต้องด้วยวิธี PCR ซึ่ง *E. coli* สายพันธุ์ที่ยีน *ldhA* และ *pta* ถูกทำลายนี้มีชื่อว่า RB7

2.4 การตัดต่อยีน *ldhA* ของ *R. oryzae* ใส่ในพลาสมิดและคัดเลือกพลาสมิดถูกต้อง

เนื่องจากยีน *ldhA* ใน *R. oryzae* เป็นยีนที่ไม่มี intron จึงสามารถใช้ดีเอ็นเอของ *R. oryzae* เป็นดีเอ็นเอต้นแบบในการทำ PCR ได้ เมื่อสกัดดีเอ็นเอจาก *R. oryzae* สายพันธุ์ NRRL395 แล้วทำการสกัดและเพิ่มปริมาณยีน *ldhA* จากดีเอ็นเอ *R. oryzae* วิธี PCR โดยไพรเมอร์ที่ใช้คือ prRB33 และ prRB34 ซึ่งมีการเหนี่ยวนำให้เกิดบริเวณตัดจำเพาะสำหรับเอนไซม์ *Bam*HI และ *Hind*III ตามลำดับ ผลิตภัณฑ์ PCR ที่เกิดขึ้นซึ่งเป็นชิ้นส่วนดีเอ็นเอที่มีขนาดประมาณ 1800 คู่เบส หลังจากนั้นนำมาตรวจสอบความถูกต้องด้วยการตัดด้วยเอนไซม์ *Kpn*I และ *Eco*RI เมื่อได้ชิ้นส่วนดีเอ็นเอที่ถูกต้องแล้ว นำชิ้นส่วนดีเอ็นเอดังกล่าวใส่เข้าสู่พลาสมิด pBlueScript II KS(+) โดยการตัดชิ้นส่วนดีเอ็นเอและพลาสมิดด้วยเอนไซม์ *Bam*HI และ *Hind*III และเชื่อมให้ติดกันด้วยเทคนิค DNA Ligation ซึ่งถูกกระตุ้นด้วยเอนไซม์ T4 Ligase (รูปที่ 2.2) โดยผลิตภัณฑ์ที่ได้จากการ Ligation นี้นำเข้าสู่ *E. coli* สาย

พันธุ์ DH5 α เพื่อเพิ่มปริมาณพลาสมิด ในลำดับต่อมาทำการคัดเลือกบนอาหารเลี้ยงเชื้อแข็ง LB ที่มี Ampicilin และ X-gal แล้วคัดเลือกโคลนนิสิกาชีงคาดว่ามียีน *ldhA* บนพลาสมิดตามหลัก blue/white screening (Sambrook *et al.*, 1989) จากนั้นทำการสกัดพลาสมิดตรวจสอบความจากการตัดด้วย.enon ไซม์ *KpnI* ชี้งพลาสมิดที่ตรวจสอบแล้วได้รับการตั้งชื่อว่า pRB85

พลาสมิดที่ใช้ในการทดลองนี้ เช่น pRB85 และ pBlueScript II KS(+) นำเข้าสู่ *E. coli*สายพันธุ์ RB7 และสายพันธุ์อื่นๆที่ใช้ในการทดลองด้วยเทคนิค Chemical Transformation ตามวิธีของ Lewis's Lab (<http://lewislab.wikispaces.com/Protocols#tb>) โดยการทำเซลล์ *E. coli* ให้เป็น competent cells ด้วยวิธี RbCl Chemically Competent Cells และนำพลาสมิดเข้าสู่ competent cells คัดเลือกเซลล์ที่มีพลาสมิดที่ต้องการด้วยการเลี้ยงบนอาหารเลี้ยงเชื้อแข็ง LB ผสม Ampicilin และ X-gal จากนั้นสกัดพลาสมิดจากโคลนนิสิกาที่สุ่มเลือก (Sambrook *et al.*, 1989) โดยพลาสมิดที่มียีน *ldhA* ของ *R. oryzae* สามารถตรวจสอบความถูกต้องโดยการตัดด้วย.enon ไซม์ *KpnI* สำหรับสายพันธุ์ RB7 ที่มีพลาสมิด pRB85 นั้นมีชื่อเรียกว่า RB24 ซึ่งเป็นสายพันธุ์ที่คาดว่าจะมีแสดงออกของยีน *ldhA*บนพลาสมิด pRB85 เพื่อผลิตกรดแลกติกซึ่งได้นำไปทดสอบในขั้นตอนต่อไป

2.5 การวิเคราะห์ปริมาณผลผลิตกรดแลกติกไอโซเมอร์ L ที่ผลิตได้จาก *E. coli* ที่ได้รับพลาสมิดชื่อยีน *ldhA* ของ *R. oryzae* ที่ภาวะต่างๆในระดับ Shake flask

เนื่องจากในขั้นตอนของการหมักเพื่อให้เซลล์ *E. coli* ผลิตกรดแลกติกโดยการแสดงออกของยีน *ldhA*บนพลาสมิด pRB85 นั้นต้องใช้อาหารเลี้ยงเชื้อที่มีปริมาณน้ำตาลกลูโคสสูง แต่ในอาหารเลี้ยงเชื้อในขั้นตอนของการสร้างพลาสมิดนั้นใช้อาหาร LB ที่ไม่ได้สกัดกลูโคสเสริม nokจากนี้ในการหมักจำเป็นต้องใส่ CaCO_3 ลงไปในอาหารเลี้ยงเชื้อเพื่อลดความเป็นกรด หากมีความเป็นกรดมาก *E. coli* ก็ไม่สามารถเจริญเติบโตได้ ดังนั้นการเปลี่ยนอาหารเลี้ยงเชื้อจาก LB มาอาหารเลี้ยงเชื้อสำหรับการหมักที่มีปริมาณกลูโคสและ CaCO_3 สูงโดยทันที เซลล์อาจจะปรับตัวไม่ได้ จึงจำเป็นต้องเลี้ยงเซลล์ในอาหารเลี้ยงเชื้อที่ค่อนข้างปรับปริมาณกลูโคสและ CaCO_3 ตามขั้นตอนที่แสดงในรูปที่ 2.3 โดยส่วนผสมอาหารเลี้ยงเชื้อแต่ละชนิด ได้แสดงไว้ในภาคผนวก ส่วนในรูป 2.3 ได้ระบุไว้เฉพาะปริมาณกลูโคสและ CaCO_3 ในขั้น Pre-culture ทำการเลี้ยงเชื้อ 50 mL เมื่อเลี้ยงครบตามเวลาของการทดลอง การหมักแต่ละภาวะ นำ Pre-culture ปริมาตร 2 mL ใส่ลงใน 50 mL Fermentation broth ในอาหารเลี้ยงเชื้อแต่ละขั้นเดิม Ampicilin ความเข้มข้นสุดท้าย 100 $\mu\text{g/mL}$ ในอาหารเลี้ยงเชื้อของสายพันธุ์ที่ต้องการรักษาพลาสมิด pBluescriptII KS(+) และ pRB85 ไว้ในเซลล์

ในขั้นตอนการทดสอบการผลิตกรดแลกติกด้วยการหมักในอาหารเลี้ยงเชื้อ Fermentation borth ที่มีกลูโคส 100 g/L ได้ทำการแบ่งการหมักออกเป็น 4 ภาวะดังตารางที่ 2.1 หลังจากทำการหมักระบ 48 ชั่วโมง ทำการเก็บตัวอย่าง 1 mL แล้วปั่นให้เขียวที่ความเร็วรอบ 10,000 rpm เป็นเวลา 7 นาที เพื่อแยกเซลล์และ CaCO₃ออก จากนั้นนำส่วนใส่ไปวิเคราะห์ความเข้มข้นของกรดแลกติกโดยใช้เมอร์ L ที่ผลิตได้และนำต่ำกลูโคสที่เหลืออยู่ในอาหารเลี้ยงเชื้อด้วยเครื่องวัดปริมาณกลูโคสและแยกเตา YSI 2700 Selector

2.6 การทำให้ยืน *ldhA*ของ *R. oryzae*บนพลาสมิด pRB85 เกิดการกลายพันธุ์แบบสุ่มด้วยวิธี error-prone PCR และนำเข้าสู่ *E.coli*

ในโครงการวิจัยนี้ใช้วิธี error-prone PCR โดยการเปลี่ยนแปลงความเข้มข้นของ Mg²⁺ และการเติม Mn²⁺ เริ่มต้นจากการหาภาวะที่เหมาะสมในการทำ error-prone PCR เมื่อใช้ pRB85 เป็นดีเอ็นเอ ต้นแบบและไพรเมอร์ prRB33 และ prRB34 โดยใช้วิธีการทำเหมือน PCR มาตรฐานแต่เปลี่ยนแปลงความเข้มข้นของ MgCl₂ ตั้งแต่ 0.25mM ถึง 1.75 M และเติม MnCl₂ 0.05mM ถึง 0.35mM ลงในปฏิกิริยา เมื่อได้ภาวะที่เหมาะสมในการทำ error-prone PCR แล้ว ทำ error-prone PCR โดยใช้พลาสมิด pRB85 เป็นดีเอ็นเอต้นแบบและไพรเมอร์ prRB33 และ prRB34 ด้วยภาวะดังกล่าว หลังจากนั้นนำผลิตภัณฑ์ PCR ที่ได้จากการทำ error-prone PCR นี้ได้นำไปตัดด้วย.enz ไซม์ตัดจำเพาะ BamHI และ HindIII เพื่อนำเข้าพลาสมิด pBluescript II KS(+) แล้วใส่เข้า *E.coli* สายพันธุ์ RB7 ทำการคัดเลือกบนอาหารเลี้ยงเชื้อแข็ง LB ที่มี Amplicilin และ X-gal แล้วคัดเลือกโคลoni สีขาวซึ่งคาดว่ามียืน *ldhA* ตัดต่อนพลาสมิดตามหลัก blue/white screening (Sambrook *et al.*, 1989)

2.7 การคัดเลือกโคลนที่คาดว่าผลิตกรดแลกติกในปริมาณมาก การวิเคราะห์ปริมาณผลิตกรดแลกติกโดยใช้เมอร์ L ที่ผลิตได้และปริมาณน้ำตาลกลูโคสที่เหลือในอาหารเลี้ยงเชื้อในระดับ Shake flask

ทำการคัดเลือกอาหารโคลoni ของแบบที่เรียกว่ามีความเป็นไปได้ว่ามีการผลิตกรดแลกติกในปริมาณมากในขั้นต้นโดยนำโคลoni สีขาวที่คัดเลือกบนอาหารเลี้ยงเชื้อแข็ง LB ที่มี Amplicilin และ X-gal มาปั่นใน培养基 Cultivation plate ซึ่งผสม CaCO₃ แล้วปั่นที่ 37 °C ในภาวะที่ไม่มีออกซิเจน สังเกตุ clear zone ที่เกิดขึ้น คัดเลือกโคลoni ที่มี clear zone ขนาดใหญ่จากนั้นนำโคลoni ดังกล่าวขึ้นไปเลี้ยงลงบน Cultivation slant เพื่อทำการหมักเพื่อหาปริมาณกรดแลกติกโดยใช้เมอร์ L ที่ผลิตได้ในขั้นต่อไป จากนั้นนำ Cultivation slant ของโคลนที่คัดเลือกไว้มาถ่ายลงในอาหารเห็ด Pre-

culture ที่มีกลูโคสเข้มข้น 10g/L CaCO_3 เข้มข้น 5 g/L ปริมาตร 50 mL เติม Amplicilin ที่มีความเข้มข้นสุดท้าย 100 $\mu\text{g}/\text{mL}$ เลี้ยงที่อุณหภูมิ 37 °C เบ่าด้วยความเร็ว 200 rpm เป็นเวลา 1 คืน แล้วจึงนำ Pre-culture ปริมาตร 2 mL ใส่ลงใน Fermentation broth ที่มีกลูโคสเข้มข้น 20 g/L CaCO_3 เข้มข้น 20 g/L ปริมาตร 50 mL และเติม Amplicilin ที่มีความเข้มข้นสุดท้าย 100 $\mu\text{g}/\text{mL}$ ในขั้นของการหมักใน Fermentation broth นี้ ทำการเลี้ยงเซลล์ที่อุณหภูมิ 37 °C ในภาวะที่ไม่มีออกซิเจนเป็นเวลา 48 ชั่วโมง จากนั้นทำการเก็บตัวอย่าง 1 mL แล้วปั่นให้ยังที่ความเร็วรอบ 10,000 rpm เป็นเวลา 7 นาที เพื่อแยกเซลล์และ CaCO_3 ออก จากนั้นนำส่วนใส่ไปวิเคราะห์ความเข้มข้นของกรดแอลกติกไอโซเมอร์ L ที่ผลิตได้และนำตากลูโคสที่เหลืออยู่ในอาหารเลี้ยงเชื้อด้วยเครื่องวัดปริมาณกลูโคสและแยกเดท YSI 2700 Selector

2.8 การศึกษาผลของปริมาณน้ำตาลกลูโคสต่อการผลิตกรดแอลกติกจาก *E. coli* ที่ได้รับการปรับปรุงสายพันธุ์

คัดเลือกสายพันธุ์ที่ต้องการทำการทดสอบเลี้ยงลงบน Cultivation slant จากนั้นถ่ายเชื้อลงในอาหารเหลว Pre-culture และหมักในอาหารเหลว Fermentation broth ด้วยวิธี อาหารเลี้ยงเชื้อและภาวะเช่นเดียวกับที่กล่าวไว้ในข้อ 2.7 แต่ทำการทดสอบการหมักโดยใช้ Fermentation broth ที่มีกลูโคสเข้มข้น 20, 30, 50 และ 70 g/L ตามลำดับ จากนั้นเก็บตัวอย่าง 1 mL แล้วปั่นให้ยังที่ความเร็วรอบ 10,000 rpm เป็นเวลา 7 นาที นำส่วนใส่ไปวิเคราะห์ความเข้มข้นของกรดแอลกติกไอโซเมอร์ L ที่ผลิตได้และนำตากลูโคสที่เหลืออยู่ในอาหารเลี้ยงเชื้อด้วยเครื่องวัดปริมาณกลูโคสและแยกเดท YSI 2700 Selector

2.9 การวิเคราะห์การเปลี่ยนแปลงลำดับสารพันธุกรรมของยีน *ldhA* ของ *R. oryzae*

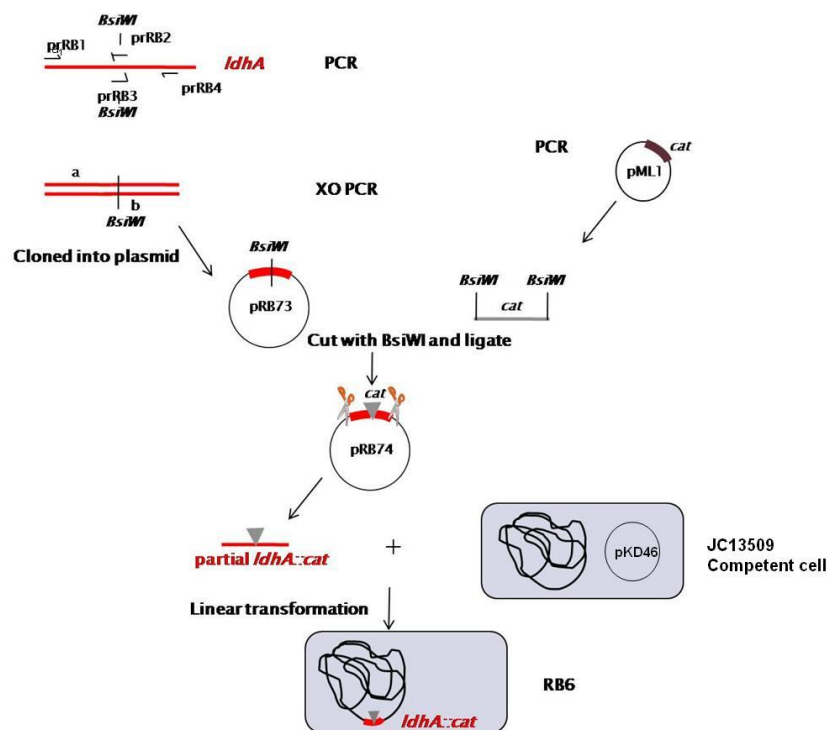
เมื่อทำการคัดเลือก *E. coli* สายพันธุ์ที่มีการผลิตกรดแอลกติกได้ดีกว่าสายพันธุ์ RB24 แล้ว ทำการเลี้ยงในอาหารเหลว LB ปริมาตร 5 mL ที่เติม Amplicilin ความเข้มข้นสุดท้าย 100 $\mu\text{g}/\text{mL}$ โดยเลี้ยงที่อุณหภูมิ 37 °C เบ่าด้วยความเร็ว 200 rpm เป็นเวลา 1 คืน แล้วนำมาสักพลาสมิค จากนั้นส่งพลาสมิดดังกล่าวเพื่อตรวจลำดับนิวคลีโอไทด์ (Macrogen, Korea) โดยใช้ไพรเมอร์ prRB33, prRB34, prRB44 และ prRB45 เปรียบเทียบลำดับนิวคลีโอไทด์ของยีน *ldhA* ที่ผ่านการทำ error-prone PCR กับลำดับนิวคลีโอไทด์ของยีน *ldhA* ของ *R. oryzae* บนฐานข้อมูล

2.10 การศึกษาความเป็นไปได้ในการตัดต่อยีน *ldhA* ของ *R. oryzae* ลงบนดีเอ็นเอของ *E. coli*

เนื่องจาก *ldhA*ของ *R. oryzae* และ *E. coli* มีความเหมือนกันประมาณ 40% เท่านั้น ซึ่งไม่เพียงพอต่อกระบวนการแลกเปลี่ยนชิ้นส่วนดีเอ็นเอเพื่อให้ยืน *ldhA*ของ *R. oryzae* แทนที่ชิ้น *ldhA* บนดีเอ็นเอของ *E. coli* ได้ ดังนั้นก่อนการแทนที่ ยืน *ldhA*บนดีเอ็นเอของ *E. coli* ด้วยวิธี Linear transformation ต้องมีการสร้างชิ้นส่วนดีเอ็นเอด้วยเทคนิค XO PCR โดยชิ้นส่วนดีเอ็นที่ต้องการนี้ประกอบด้วยยืน *ldhA*ของ *R. oryzae*และในส่วนหัวและท้ายของดีเอ็นเอเด่นนี้มีลำดับนิวคลีโอไทด์เหมือนกับส่วนด้านหน้าและด้านหลังของยืน *ldhA* ของ *E. coli* ประมาณ 700 คู่เบส และในส่วนท้ายยืน *ldhA* ของ *R. oryzae* มีบริเวณตัดจำเพาะของเอนไซม์ตัดจำเพาะเพื่อให้สามารถใส่ marker สำหรับการคัดเลือกในขั้นต่อไป ซึ่งการทดลองนี้วางแผนใช้ยืน chloramphenicol acetyltransferase (*cat*) โดยขั้นตอนการสร้างชิ้นส่วนดีเอ็นเอนี้แสดงไว้ในรูปที่ 2.4 ซึ่งเริ่มต้นจากการสร้าง Fragment 1 ด้วยวิธี PCR ซึ่งใช้ดีเอ็นเอของ *E. coli* สายพันธุ์ JC13509 เป็นดีเอ็นเอต้นแบบ และใช้ไพรเมอร์ prRB40 กับ prRB38 ได้ผลิตภัณฑ์ PCR ที่ได้เป็นชิ้นส่วนดีเอ็นเอขนาดประมาณ 700 คู่เบส ส่วน Fragment 2 สร้างโดยวิธี PCR ซึ่งใช้โครโน่โซมของ *R. oryzae* สายพันธุ์ NRRL395 เป็นดีเอ็นเอต้นแบบ และใช้ไพรเมอร์ prRB36 กับ prRB37 ได้ผลิตภัณฑ์ PCR ที่ได้เป็นชิ้นส่วนดีเอ็นเอขนาดประมาณ 1800 คู่เบส จากนั้นทำการ XO PCR ของ Fragment 1 และ 2 เริ่มจาก Primerless PCR โดยการทำ PCR ที่ใส่ Fragment 1 และ 2 แต่ไม่ใส่ไพรเมอร์ลงไปในปฏิกิริยา ซึ่งบริเวณที่เหมือนกันของ Fragment 1 และ 2 สามารถจับกันได้ จากนั้นจึงเติมไพรเมอร์ prRB40 และ 37 ลงไปภายหลังเพื่อเพิ่มจำนวน โดยผลิตภัณฑ์ที่ถูกต้องเป็นชิ้นส่วนดีเอ็นเอที่มีขนาดประมาณ 2500 คู่เบส ทำการสกัดชิ้นส่วนดีเอ็นเอนี้เพื่อโคลนเข้าสู่พลาสมิด pCR® 2.1-TOPO® (Invitrogen, USA) และตั้งชื่อพลาสมิดนี้ว่า pRB86 จากนั้นทำการ XO PCR อีกรอบ 3 เริ่มจากการเพิ่มจำนวน Fragment 1+2 บนพลาสมิด pRB86 โดยวิธี PCR ด้วยไพรเมอร์ prRB40 และ 37 และสร้าง Fragment 3 โดยวิธี PCR ซึ่งใช้ดีเอ็นเอของ *E. coli* สายพันธุ์ JC13509 เป็นดีเอ็นเอต้นแบบกับไพรเมอร์ prRB39 และ prRB41 ได้ผลิตภัณฑ์ PCR ที่ได้เป็นชิ้นส่วนดีเอ็นเอขนาดประมาณ 700 คู่เบส เมื่อทำการ XO PCR ของ Fragment 1+2 และ 3 ผลิตภัณฑ์ PCR ที่ได้ทำการเป็นชิ้นส่วนดีเอ็นเอขนาดประมาณ 3200 คู่เบส

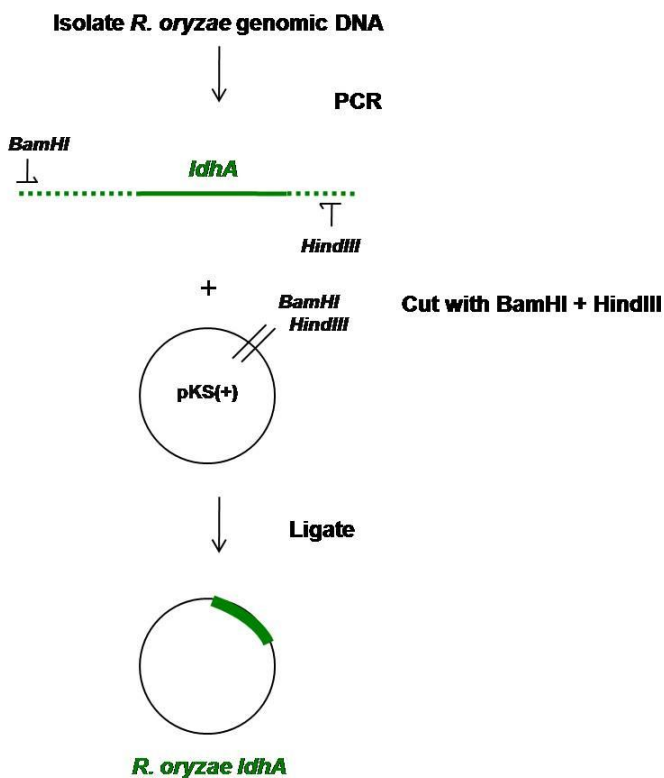
ตารางที่ 2.1 ภาระการหมักหาภาวะที่เหมาะสมในการผลิตกรดแลกติกไฮโซเมอร์ L จาก *E. coli*สายพันธุ์ RB24

ภาวะที่	Pre-culture (กลูโคส 10g/L)	Fermentation (กลูโคส 100 g/L)
1	บ่มที่ 37°C 24 ชั่วโมง	บ่มที่ 37°C 48 ชั่วโมง
2	บ่มที่ 37°C 24 ชั่วโมงแบบไม่มีอوكซิเจน	บ่มที่ 37°C 48 ชั่วโมง แบบไม่มีอوكซิเจน
3	บ่มที่ 37°C เขย่าด้วยความเร็ว 200 rpm.	บ่มที่ 37°C 48 ชั่วโมง แบบไม่มีอوكซิเจน 7 ชั่วโมง
4	บ่มที่ 37°C เขย่าด้วยความเร็ว 200 rpm. 7 ชั่วโมง	บ่มที่ 37°C 48 ชั่วโมง



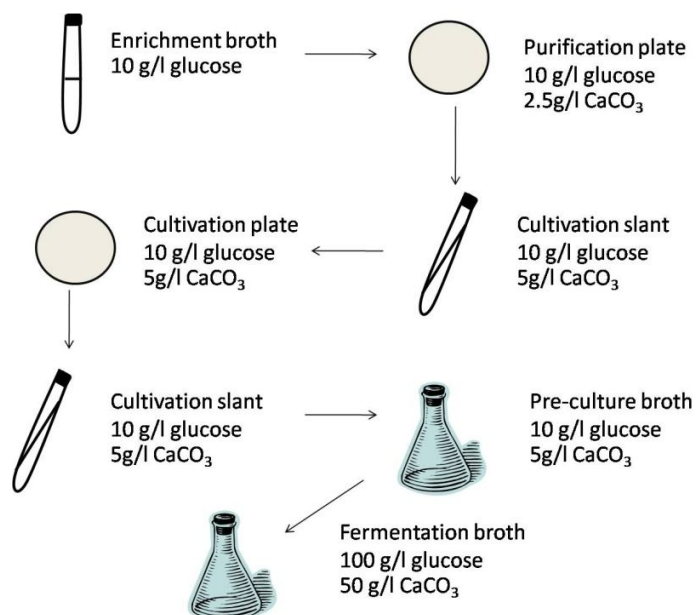
รูปที่ 2.1 การสร้าง *E. coli* สายพันธุ์ที่ยืน *ldhA* บนดีเอ็นเอคู่การทำลาย

เริ่มต้นจากทำ XO PCR เพื่อสร้างชิ้นส่วนดีเอ็นเอที่ยืน *ldhA* ของ *E. coli* ถูกทำลายโดยการแทรกชิ้น *cat* ซึ่งต้านยา Chloramphenicol ลงตรงกลางของชิ้น *ldhA* จากนั้นนำชิ้นส่วนดีเอ็นเอดังกล่าวแทนที่ชิ้น *ldhA* บนดีเอ็นเอของ *E. coli* ด้วยวิธี Linear transformation โดยสายพันธุ์ที่ยืน *ldhA* บนดีเอ็นเอคู่การทำลาย (*ldhA::cat*) มีชื่อว่า RB5



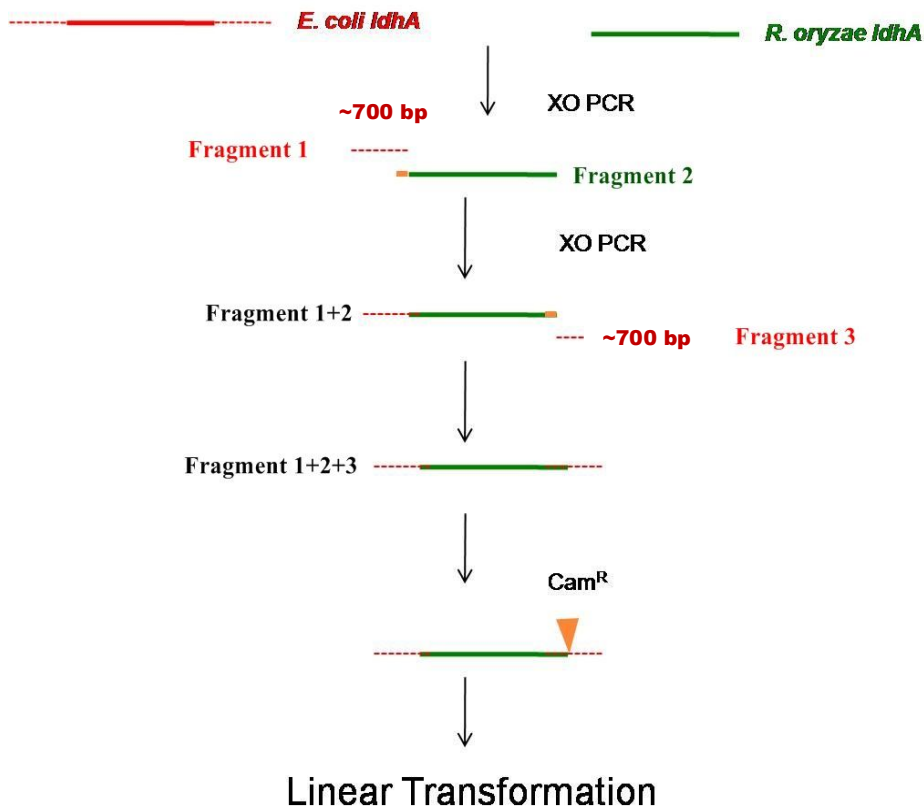
รูปที่ 2.1 ขั้นตอนการสร้างพลาสมิดที่มียีน *IdhA* ของ *R. oryzae*

เริ่มจาก PCR เพื่อเพิ่มปริมาณชิ้นส่วนดีเอ็นเอที่มียีน *IdhA* ของ *R. oryzae* โดยไพรเมอร์ที่ใช้จะทำให้เหนือยาน้ำให้เกิดบริเวณตัดจำเพาะด้วย.enon ใช้มี BamHI และ HindIII หลังจากนั้นนำผลิตภัณฑ์ PCR และพลาสมิด pBluescriptII KS(+) ตัดด้วย.enon ใช้มี BamHI และ HindIII และเชื่อมติดกันด้วย.enon ใช้มี T4 Ligase



รูปที่ 2.2 ขั้นตอนการเลี้ยงเชื้อก่อนทำการหมักเพื่อปรับสภาพเซลล์

อาหารเลี้ยงเชื้อทุกชนิดปรับ pH ที่ 6.8 และส่วนประกอบอื่นๆ เมื่อนึ่งกันตามละเอียดในภาคผนวก ยกเว้นน้ำตาลกลูโคสและ CaCO_3 ที่แสดงไว้ในภาพ โดยในการเลี้ยงเชื้อทุกขั้นตอนทำการบ่มที่ 37°C เป็นเวลา 2 วัน ยกเว้นในขั้น Pre-culture ซึ่งแตกต่างกันขึ้นอยู่กับภาวะในการหมัก



รูปที่ 2.4 แผนงานการสร้างดีเอ็นเอสายตรงสำหรับการแทนที่ยืน *IdhA* บนดีเอ็นเอของ *E. coli* ด้วยยืน *IdhA* ของ *R. oryzae*

Fragment 1 จะเป็นชิ้นส่วนดีเอ็นเอที่มีลำดับนิวคลีโอไทด์เหมือนกับบริเวณที่อยู่หน้ายืน *IdhA* ใน *E. coli* ซึ่งมีขนาดประมาณ 700 คู่เบส แล้วเชื่อมติดกับ Fragment 2 ซึ่งเป็นชิ้นส่วนดีเอ็นเอที่มียืน *IdhA* ใน *R. oryzae* ที่ส่วนหัวมีความเหมือนกับ Fragment 1 ประมาณ 30 คู่เบส ด้วยเทคนิค XO PCR หลังจากนั้นจึงใช้เทคนิค XO PCR เชื่อมติดกับ Fragment 3 อีกรึ่ง โดย Fragment 3 เป็นชิ้นส่วนดีเอ็นเอที่อยู่หลังยืน *IdhA* ใน *E. coli* และมีส่วนที่เหมือนส่วนท้ายของ Fragment 2 ประมาณ 30 คู่เบส นอกจากนี้ยังได้ออกแบบให้มีบริเวณที่สามารถตัดได้ด้วยendonuclease *Bsi*WI ในส่วนท้ายของ Fragment 2 เพื่อนำ marker คือ chloramphenicol acetyltransferase (*cat*) มาใส่ก่อนทำ Linear transformation

บทที่ 3

ผลการทดลองและวิจารณ์ผลการทดลอง

3.1 การสร้างพลาสมิดที่มียีน *ldhA* ของ *R. oryzae*

ผลิตภัณฑ์ PCR ที่ได้จากการใช้ไพรเมอร์ prRB33 และ prRB34 โดยใช้ดีเอ็นเอของ *R. oryzae* เป็นดีเอ็นเอต้นแบบมีขนาดประมาณ 1800 คู่เบสซึ่งประกอบด้วยยีน *ldhA*, promoter, และ ribosome binding site ก่อนนำผลิตภัณฑ์ PCR ไปตัดต่อเข้าสู่พลาสมิด ได้ทำการตรวจสอบความถูกต้องโดยการตัดด้วยเอนไซม์ *KpnI* และ *EcoRI* โดยชิ้นส่วนที่ถูกต้องมีตัดด้วยเอนไซม์ *KpnI* เกิดชิ้นส่วนขนาดประมาณ 770 และ 1030 คู่เบส ในขณะที่การตัดด้วยเอนไซม์ *EcoRI* ได้ชิ้นส่วนขนาดประมาณ 600 และ 1200 คู่เบส (รูปที่ 3.1) หลังจากนั้นนำผลิตภัณฑ์ PCR ที่ถูกต้องตัดด้วยเอนไซม์ตัดจำเพาะ *BamHI* และ *HindII* ใส่เข้าสู่พลาสมิด pBlueScript II KS(+) ที่บวบรีเวนตัดจำเพาะของเอนไซม์เดียวกันเมื่อทำการตรวจสอบความถูกต้องโดยการสกัดพลาสมิดแล้วตัดด้วยเอนไซม์ *KpnI* ซึ่งพลาสมิดที่ถูกต้องเกิดชิ้นส่วนดีเอ็นเอขนาด 800 และ 4000 คู่เบส (รูปที่ 3.2) และได้ทำการตรวจสอบลำดับนิวคลีโอไทด์ด้วยวิธี DNA Sequencing (Macrogen, Korea) ซึ่งพลาสมิด pBlueScript II KS(+) ที่มียีน *ldhA* ของ *R. oryzae* ซึ่งได้รับการตรวจสอบความถูกต้องแล้วมีชื่อว่า pRB85 และพลาสมิดนี้นำไปใส่ใน *E. coli* สายพันธุ์ RB7 ที่ยัง *ldhA* และ *pta* บนดีเอ็นเอถูกทำลาย โดยสายพันธุ์ดังกล่าวมีชื่อว่า RB24 ซึ่งนำใช้ในการทดสอบการแสดงออกของยีน *ldhA* ของ *R. oryzae* ขั้นต่อไป

3.2 ผลผลิตกรดแลกติกไオโซเมอร์ L ที่ได้จากการหมักในภาวะต่างๆ ในระดับ Shake flask

เนื่องจาก *E. coli* ผลิตกรดแลกติกในภาวะที่ไม่มีออกซิเจน ดังนั้นในสายพันธุ์ RB7 ซึ่งยัง *ldhA* บนดีเอ็นเอถูกทำลายจึงไม่สามารถผลิตกรดแลกติกได้ในภาวะดังกล่าว และความสามารถในการผลิตกรดแลกติกสามารถขยายได้เมื่อนำยีน *ldhA* จากแหล่งอื่นซึ่งในที่นี่คือยีน *ldhA* บนพลาสมิด pRB85 ในขั้นต้นนั้นได้ทดสอบการแสดงออกของยีน *ldhA* บนพลาสมิด pRB85 โดยการเลี้ยง *E. coli* สายพันธุ์ RB24 ในอาหารเลี้ยงเชื้อและ cultivation plate ที่มีกลูโคสเข้มข้น 10 g/L และมี CaCO₃ ผสมในอาหารในภาวะที่มีออกซิเจน และไม่มีออกซิเจน จากผลการทดลองดังรูปที่ 3.3 พบว่าสายพันธุ์ RB24 ซึ่งมีพลาสมิด pRB85 สามารถสร้าง clear zone ได้ทั้งในสภาวะที่มีออกซิเจนและไม่มีออกซิเจน เช่นเดียวกับสายพันธุ์ JC13509 (wild type) ซึ่งแสดงว่ามีการผลิตกรด ทั้งนี้การทดลองขั้นต่อไปคือการหมักที่ภาวะต่างๆ เพื่อทดสอบว่ากรดที่ผลิตคือกรดแลกติกหรือไม่ และมีปริมาณการผลิตเท่าไร ในขณะที่สายพันธุ์ RB7 ซึ่งไม่มียีน *ldhA* ไม่มีการสร้างกรดและเจริญเติบโต ได้น้อยมากในภาวะที่ไม่มีออกซิเจน และแสดงถึงความสำคัญของยีน *ldhA* ต่อ *E. coli*

เพื่อการเจริญเติบโตในภาวะที่ไม่มีออกซิเจน ทั้งนี้สามารถกล่าวได้ว่าการเจริญเติบโตและการสร้างกรดของสายพันธุ์ RB24 ในภาวะที่ไม่มีออกซิเจนเกิดจากการแสดงออกของยีน *ldhA* บนพลาสมิค pRB85 เพื่อชดเชยการสูญเสียยีน *ldhA* บนดีเอ็นเอของ *E. coli*

เมื่อทำการหมักเชื้อ *E. coli* สายพันธุ์ต่างๆ ในอาหารเลี้ยงเชื้อสำหรับการหมัก Fermentation broth ซึ่งมีน้ำตาลกลูโคสเริ่มต้น 100 g/L และ CaCO₃ 50 g/L ทั้งนี้สายพันธุ์ RB24 ซึ่งมีพลาสมิค pRB85 (ยีน *ldhA* จาก *R. oryzae* บนพลาสมิค pBluescript II KS(+)) และยีน *ldhA* และ *pta* บนดีเอ็นเอของ *E. coli* ถูกทำลาย มีความเป็นไปได้ว่ามีการผลิตกรดแลกติกไอโซเมอร์ L เนื่องจากในการทดสอบขั้นต้นพบการผลิตกรดและการเจริญเติบโตในภาวะที่ไม่มีออกซิเจนซึ่งคาดว่าเกิดจากการแสดงออกของยีน *ldhA* ของ *R. oryzae* บนพลาสมิคเพื่อทำงานทดแทนการสูญเสียยีน *ldhA* บนดีเอ็นเอของ *E. coli* นอกจากนี้ยังได้ทำการเปรียบเทียบการผลิตกรดแลกติกของสายพันธุ์ RB24 กับ *E. coli* สายพันธุ์อื่นๆ ได้แก่

(1.) JC13509 ซึ่งใช้เป็น *E. coli* wild type เนื่องจากใน wild type มียีน *ldhA* บนดีเอ็นเอ ดังนั้นคาดว่าไม่พบการสร้างกรดแลกติกไอโซเมอร์ L ทั้งนี้ *ldhA* บนดีเอ็นเอ *E. coli* มีการผลิตกรดแลกติกไอโซเมอร์ D

(2.) RB7 ในสายพันธุ์นี้ยีน *ldhA* และ *pta* ของ *E. coli* ถูกทำลาย ในการทดสอบข้างต้นไม่พบการผลิตกรดรวมทั้งมีการเจริญเติบโตน้อยมาก ในภาวะที่ไม่มีออกซิเจน ดังนั้นมีการทำการหมักจึงไม่ควรพบการผลิตกรดแลกติก

(3.) RB29 เป็นสายพันธุ์ที่ใส่พลาสมิค pBluescript II KS(+) เป็นตัว RB7 เพื่อทดสอบว่าการใส่พลาสมิคชนิดนี้รับกระบวนการระบบการผลิตกรดแลกติกไอโซเมอร์ L หรือไม่

(4.) RB30 เป็นสายพันธุ์ที่ใส่พลาสมิค pRB85 ใน JC13509 ทั้งนี้จากการวิจัยของ Chang *et al.*, 1999 พบว่า การแสดงออกของยีน *ldh* จากสิ่งมีชีวิตอื่นจะเกิดใน *E. coli* เมื่อมีการทำลายยีน *ldhA* บนดีเอ็นเอของ *E. coli* ก่อน ดังนั้นในสายพันธุ์นี้ ยีน *ldhA* ของ *R. oryzae* บนพลาสมิค pRB85 จึงไม่สามารถแสดงออก เพราะยีน *ldhA* บนโครโนมโซนไม่ได้ถูกทำลาย

(5.) RB31 เป็นสายพันธุ์ที่ใส่พลาสมิค pBluescript II KS(+) เป็นตัว JC13509 เพื่อทดสอบว่าพลาสมิคชนิดนี้รับกระบวนการต่างๆ ในเซลล์หรือไม่

ในการปักติดหากไม่ใส่ยาปฏิชีวนะที่พลาสมิคนั้นๆ มียีนด้านอยู่ เชลล์จะกำจัดพลาสมิคออก เพราะไม่มีความจำเป็นต้องเก็บไว้ ดังนั้นในการเลี้ยงเชื้อสายพันธุ์ที่มีพลาสมิค pBluescript II KS(+) และ pRB85 จำเป็นต้องใส่ยาปฏิชีวนะ Ampicillin ทุกครั้งเพื่อรักษาพลาสมิคไว้ในเซลล์ จากรูปที่ 3.3 พบว่า RB7 เจริญเติบโตได้น้อยในภาวะที่ไม่มีออกซิเจน แต่การเจริญเติบโตและการสร้างกรดเกิดขึ้นเมื่อได้รับพลาสมิค pRB85 ซึ่งมียีน *ldhA* ของ *R. oryzae* (สายพันธุ์ RB24) ดังนั้น เป็นไปได้ว่าพลาสมิค pRB85 ถูกรักษาไว้ใน

เซลล์แม้ว่าจะไม่ใส่ Ampicillin เพราะเซลล์จำเป็นต้องใช้ชีน *ldhA* บนพลาสมิดนี้เพื่อใช้ในการเจริญเติบโต ซึ่งจะช่วยให้ทดลองการหมักแบบที่ไม่ใส่ Ampicillin ซึ่งถ้าหากเซลล์สามารถรักษาพลาสมิดไว้ได้โดยไม่ต้องใส่ยาปฏิชีวนะจะเป็นผลดีเช่นสามารถลดค่าใช้จ่ายและความยุ่งยากในการเตรียมอาหารเลี้ยงเชื้อ

จากตารางที่ 3.1 พบว่าในการหมักภาวะที่ 1 และ 2 ที่ออกซิเจนมีจำกัด และไม่มีออกซิเจนตามลำดับ *E. coli* สายพันธุ์ RB24 สามารถผลิตกรดแลกติกไฮโซเมอร์ L ได้แม้ไม่ใส่ Ampicillin และดีกว่าใส่ Ampicillin ในอาหารเลี้ยงเชื้อ แสดงว่าพลาสมิดขังถูกรักษาไว้ได้ในเซลล์แม้ว่าไม่มีการใส่ยาปฏิชีวนะ ดังกล่าว ทั้งนี้ เพราะเซลล์จำเป็นต้องใช้ชีน *ldhA* จาก *R. oryzae* บนพลาสมิดเพื่อการเจริญเติบโตในภาวะที่ออกซิเจนมีจำกัดหรือไม่มีออกซิเจน ส่วน Ampicillin เองอาจขัดขวางการสร้างกรดแลกติกในภาวะดังกล่าว ส่วนภาวะการหมักแบบที่ 3 และ 4 นั้นได้ให้ออกซิเจนในขั้นของ Pre-culture พบว่า *E. coli* สายพันธุ์ RB24 ผลิตกรดแลกติกได้น้อยมากหากไม่เติม Ampicillin ลงในอาหารเลี้ยงเชื้อ ซึ่งเป็นไปได้ว่าในภาวะที่มีออกซิเจนนั้น เซลล์ไม่จำเป็นต้องใช้ชีน *ldhA* บนพลาสมิดจึงกำจัดพลาสมิดนี้ออกจากเซลล์ไป นอกจากนี้ยังพบว่าพลาสมิด pBluescript II KS(+) ไม่มีผลต่อระบบการผลิตกรดแลกติกไฮโซเมอร์ L ใน *E. coli* และการผลิตกรดแลกติกไฮโซเมอร์ L จากสายพันธุ์อื่นๆ เป็นตามที่คาดไว้ซึ่งได้กล่าวไว้ก่อนหน้านี้ ทั้งนี้จากการหมักทั้ง 4 รูปแบบ แสดงให้เห็นว่า *E. coli* สายพันธุ์ RB24 มีการแสดงออกของยีน *ldhA* บนพลาสมิด pRB85 โดยภาวะที่สามารถผลิตกรดแลกติกได้มากที่สุดคือการหมักในภาวะที่ 2 ทั้ง Pre-culture และ Fermentation อยู่ในภาวะที่ไม่มีออกซิเจน และไม่เติม Ampicillin ในอาหารเลี้ยงเชื้อ อย่างไรก็ตามปริมาณกรดแลกติกไฮโซเมอร์ L ที่ผลิตได้ยังมีปริมาณน้อย (5.03 ± 4.149 g/L) และปริมาณไม่คงที่ในแต่ละชุดการทดลอง ดังนั้นจึงต้องมีการปรับปรุงการเลี้ยงเชื้อและสายพันธุ์ *E. coli* นี้ เพื่อให้ผลิตกรดแลกติกไฮโซเมอร์ L ให้ได้ปริมาณมากขึ้น โดยปัญหาที่จะพบคือความจำเป็นสาเหตุให้ *E. coli* สายพันธุ์ RB24 ยังผลิตกรดแลกติกไฮโซเมอร์ L ได้น้อย ซึ่งอาจเกิดจากปริมาณกลูโคสที่ใช้ในการหมักมากเกินไปซึ่งอาจไปขัดขวางกระบวนการสร้างกรดแลกติก จากผลการทดลองที่แสดงในตารางที่ 3.1 พบว่าในการหมักที่ 2 ซึ่งผลิตกรดแลกติกไฮโซเมอร์ L จาก *E. coli* สายพันธุ์ RB24 ได้ดีที่สุดนั้นมีน้ำตาลกลูโคสเหลือในอาหารเลี้ยงเชื้อมากกว่า 80 g/L ดังนั้นจะต้องลดปริมาณกลูโคสและภาวะที่เหมาะสมสำหรับการทดลองต่อไป นอกจากนี้ในการทดลองต่อไป จะพยายามใช้การปรับปรุงยีน *ldhA* ของ *R. oryzae* ที่อยู่บนพลาสมิดด้วยเทคนิค error-prone PCR ซึ่งเป็นเทคนิคที่ทำให้เกิดการกลายพันธุ์แบบสุ่มนั่น ยีน *ldhA* แล้วทำการคัดเลือกสายพันธุ์ที่ผลิตกรดแลกติกไฮโซเมอร์ L ได้มากขึ้น และความเป็นไปได้อีกประการคือ การใช้พลาสมิด pRB85 ที่มียีน *ldhA* จาก *R. oryzae* เพื่อแสดงออกใน *E. coli* ยังไม่มีความเสถียร แม้ว่าการเลือกใช้การแสดงออกของยีนบนพลาสมิดนั้นมีข้อดีคือการตัดต่อยีนเข้าพลาสมิดจะมีสำเนา (copy number) มากกว่าตัวต่อตัวนัก เนื่องจากมีเพียง 1 สำเนา ทำให้อาจมีการผลิตกรดแลกติกไฮโซ

เมอร์ L มากขึ้น แต่พลาสมิค มีแนวโน้มจะหลุดออกจากเซลล์ได้ง่าย ในการทดลองนี้ในการผลิตกรดแลกติกในบางชุดการทดลองพบกรดแลกติก ไอโซเมอร์ L ของสายพันธุ์ RB24 น้อยมากคล้ายกับไม่มีพลาสมิค pRB85 ทำให้ปริมาณกรดแลกติกที่วัดได้ในทุกชุดการทดลองไม่มีความใกล้เคียงกัน ซึ่งอาจเป็นไปได้ว่าถ้ามีออกซิเจนเข้าไปในการทดลองเพียงเล็กน้อย เซลล์มีการกำจัดพลาสมิคออก ดังนั้นจะมีผู้วิจัยได้ทำการศึกษาความเป็นไปได้ในการนำ *ldhA* ของ *R. oryzae* ตัดต่อลงบนดีเอ็นเอของ *E. coli* เพื่อเพิ่มความเสถียร

3.3 การปรับปรุงสายพันธุ์ *E.coli* เพื่อผลิตกรดแลกติก ไอโซเมอร์ L โดยใช้เทคนิค error-prone PCR

โครงการวิจัยนี้เลือกใช้เทคนิค error-prone PCR เพื่อให้ยืน *ldhA* จาก *R. oryzae* บนพลาสมิค pRB85 เกิดการกลายพันธุ์แบบสุ่ม ข้อดีของเทคนิคดังกล่าวคือการกลายพันธุ์เกิดขึ้นเฉพาะบริเวณยืน *ldhA* จาก *R. oryzae* ในขณะที่การสร้างการกลายพันธุ์แบบสุ่ม เช่น การขาดและยืดหรือการใช้สารเคมีเหนี่ยวนำนี้ การกลายพันธุ์จะเกิดบนดีเอ็นเอส่วนใดก็ได้ไม่จำกัดเฉพาะยืน *ldhA* จาก *R. oryzae* บนพลาสมิค ซึ่งทำให้ยากต่อการติดตามหาตำแหน่งที่เกิดการกลายพันธุ์

หลักการของเทคนิค error-prone PCR คือในการทำ PCR มักเกิดการกลายพันธุ์ได้ง่าย เนื่องจากเอนไซม์ *Taq* polymerase ไม่มีกระบวนการตรวจสอบความถูกต้องที่เรียกว่า Proofreading ซึ่งต่างจากเอนไซม์ DNA polymerase ที่ใช้การสังเคราะห์ดีเอ็นเอด้วยกระบวนการ Replication ทั้งนี้อัตราการกลายพันธุ์จะเกิดสูงขึ้นในกระบวนการ PCR เมื่อปัจจุบันยุ่งเหยิง เช่น Mg²⁺, Mn²⁺ หรือการเปลี่ยนแปลงรอบในการทำ PCR ซึ่งอัตราการเกิดการกลายพันธุ์อาจสูงถึง 2 ใน 1000 คู่เบส ในโครงการวิจัยนี้ใช้วิธี error-prone PCR โดยการเปลี่ยนแปลงความเข้มข้นของ Mg²⁺ และการเติม Mn²⁺ ซึ่ง Mg²⁺ นั้นเป็น cofactor ของเอนไซม์ *Taq* polymerase ดังนั้นการเปลี่ยนแปลงความเข้มข้นของ Mg²⁺ หรือการเติม Mn²⁺ ทำให้ *Taq* polymerase ทำงานผิดพลาดมากขึ้นส่งผลให้เกิดอัตราการกลายพันธุ์สูงขึ้น ในขั้นตอนจะผู้วิจัยได้หากว่าที่เหมาะสมในการทำ error-prone PCR เมื่อใช้ pRB85 เป็นดีเอ็นเอต้นแบบและใช้ไพรเมอร์ prRB33 กับ prRB34 โดยใช้ MgCl₂ ที่ความเข้มข้นต่างๆ ตั้งแต่ 0.25 mM ถึง 1.75 M และ MnCl₂ ที่ความเข้มข้นต่างๆ ตั้งแต่ 0.05 mM ถึง 0.35 mM พบว่าเกิดผลลัพธ์ PCR เมื่อใช้ MgCl₂ ความเข้มข้น 0.25 mM เป็นต้นไป และ MnCl₂ ความเข้มข้น 0.05 mM เป็นต้นไป โดยผลลัพธ์ PCR มีปริมาณแตกต่างกันไปในปัจจัยเช่น MgCl₂ และ MnCl₂ ที่ความเข้มข้นต่างกัน (รูปที่ 3.4) การทดลองต่อจากนี้จะผู้วิจัยเลือกใช้ MgCl₂ ที่ความเข้มข้น 1.25 mM และ MnCl₂ ที่ความเข้มข้น 0.05 mM ในการทำ error-prone PCR โดยผลลัพธ์ PCR ที่ได้จากการทำ error-prone PCR นี้ได้นำไปตัดด้วยเอนไซม์ตัดจำเพาะ *Bam*H I และ *Hind*III เพื่อนำเข้าพลาสมิค pBluescript II KS(+) และใส่เข้า *E. coli* สายพันธุ์ RB7 เพื่อทำการคัดเลือกหาโคโลนีของแบคทีเรียที่ผลิต

กรดแลกติกในปริมาณมาก ในการคัดเลือกขึ้นต้นนำโโคโลนีสีขาวจากอาหารเลี้ยงเชื้อแข็ง LB ที่มี Ampicillin และ X-gal มาขึ้นลงบนอาหารแข็ง Cultivation plate ที่ผสม CaCO₃ แล้วบ่มที่ 37 °C ในภาวะที่ไม่มีออกซิเจน เป็นเวลา 48 ชั่วโมง จากนั้นสังเกตุขนาด clear zone โดยคณะผู้วิจัยได้ทำการคัดเลือกโโคโลนีบางโโคโลนีที่มี clear zone ขนาดใหญ่กว่า clear zone ของ *E. coli* สายพันธุ์ RB24 ข่ายไปเลี้ยงลงบน Cultivation slant ที่มี Ampicillin ความเข้มข้นสุดท้าย 100 µg/mL จากนั้นนำโโคโลนีบน Cultivation slant ถ่ายลงในอาหารเหลว Pre-culture ที่มีกลูโคสเข้มข้น 10g/L CaCO₃ เข้มข้น 5 g/L ปริมาตร 50 mL เดิน Ampicillin ที่มีความเข้มข้นสุดท้าย 100 µg/mL เลี้ยงที่อุณหภูมิ 37 °C เบ่าด้วยความเร็ว 200 rpm เป็นเวลา 1 คืน ซึ่งการเลี้ยงเชื้อแบบนี้ทำให้เซลล์ตั้งต้นสำหรับการหมักมีจำนวนเพิ่มขึ้น แล้วจึงนำ Pre-culture ปริมาตร 2 mL โดยเจือจางให้มีจำนวนเซลล์เริ่มต้นประมาณ 10⁶ เซลล์ ใส่ลงใน Fermentation broth ที่มีกลูโคสเข้มข้น 20 g/L CaCO₃ เข้มข้น 20 g/L ปริมาตร 50 mL และเดิน Ampicillin ที่มีความเข้มข้นสุดท้าย 100 µg/mL ทำการหมักที่อุณหภูมิ 37 °C ในภาวะที่ไม่มีออกซิเจนเป็นเวลา 48 ชั่วโมง (ตารางที่ 3.2) โดยทำการหมักดังกล่าว คณะผู้วิจัยได้ทำการทดสอบแล้วว่าเป็นภาวะที่เหมาะสมกับสายพันธุ์ RB24 แม้จะผลิตกรดแลกติกไฮโซเมอร์ L ได้ไม่มากเท่ากับภาวะที่ไม่เดิน Ampicillin (ตารางที่ 3.1) แต่สามารถผลิตกรดแลกติกไฮโซเมอร์ L ได้มีความใกล้เคียงกันในแต่ละชุดการทดลองและนำตalaกลูโคสเหลือในอาหารเลี้ยงเชื้อน้อย

จากผลการทดลองที่แสดงไว้ในตารางที่ 3.2 พบว่า เมื่อทดสอบการหมักโดยใช้น้ำตาลกลูโคสเริ่มต้น 20 g/L ในภาวะที่ไม่มีออกซิเจน สายพันธุ์ที่คัดเลือกจากการทำ error-prone PCR สายพันธุ์ซึ่งคัดเลือกมาและตั้งชื่อว่า TW4 สามารถผลิตกรดแลกติกได้ในปริมาณที่สูงกว่า *E. coli* สายพันธุ์ RB24 ประมาณ 7 เท่า ทั้งนี้มีน้ำตาลกลูโคสเหลือในอาหารเลี้ยงเชื้อ ไม่มากนัก คาดว่าสายพันธุ์เหล่านี้มีการกลยุทธ์บนบริเวณยีน *ldhA* จาก *R. oryzae* บนพลาสมิด ซึ่งต้องทำการตรวจสอบการเปลี่ยนแปลงของลำดับนิวคลีโอไทด์บนยีน *ldhA* ด้วยวิธี DNA sequencing ต่อไป

3.4 ผลของปริมาณกลูโคสเริ่มต้นในอาหารเลี้ยงเชื้อสำหรับการหมักต่อการผลิตกรดแลกติกไฮโซเมอร์ L ใน *E. coli* ที่ได้รับการปรับปรุงสายพันธุ์

เพื่อทดสอบหาปริมาณกลูโคสเริ่มต้นที่เหมาะสมในการหมักสำหรับการผลิตกรดแลกติกไฮโซเมอร์ L ใน *E. coli* สายพันธุ์ TW4 ซึ่งได้รับการปรับปรุงสายพันธุ์ด้วยเทคนิค error-prone PCR โดยทำการเลี้ยง *E. coli* สายพันธุ์ดังกล่าวและสายพันธุ์ที่ใช้เป็นตัวเปรียบควบคุณใน Cultivation slant จากนั้นถ่ายโโคโลนีบน Cultivation slant ลงในอาหารเหลว Pre-culture ที่มีกลูโคสเข้มข้น 10g/L CaCO₃ เข้มข้น 5 g/L ปริมาตร 50 mL เลี้ยงที่อุณหภูมิ 37 °C เบ่าด้วยความเร็ว 200 rpm เป็นเวลา 1 คืน แล้วจึงนำ Pre-culture ปริมาตร 2 mL โดยเจือจางให้มีจำนวนเซลล์เริ่มต้นประมาณ 10⁶ เซลล์ ใส่ลงใน Fermentation broth ที่มีกลูโคสเข้มข้น 20,

30, 50 และ 70 g/L ตามลำดับ และมี CaCO_3 เพิ่มขึ้น 20 g/L ปริมาตร 50 mL ทำการหมักที่อุณหภูมิ 37 °C ในภาวะที่ไม่มีออกซิเจนเป็นเวลา 48 ชั่วโมง สำหรับสายพันธุ์ที่มีพลาสมิคได้เดิน Ampicilin ที่มีความเข้มข้นสุดท้าย 100 $\mu\text{g/mL}$ ลงในอาหารเลี้ยงเชื้อทุกขั้นตอน

จากผลการทดลองในตารางที่ 3.3 พบว่าปริมาณกลูโคสในเริ่มต้นในอาหารสำหรับการหมักที่เหมาะสมที่สุดสำหรับสายพันธุ์ที่มีขึ้น *ldhA* จาก *R. oryzae* บนพลาสมิค (RB24) และสายพันธุ์ที่มีขึ้น *ldhA* จาก *R. oryzae* ที่ผ่านการทำ error-prone PCR (TW 4) คือ 20 g/L โดยวิเคราะห์ได้จากการความเข้มข้นของครดแลกติกไอโซเมอร์ L ที่ผลิตได้และค่า Y_{PS} เมื่อตรวจสอบความเข้มข้นของกลูโคสที่เหลือในอาหารพบว่า เชลล์สามารถนำกลูโคสไปใช้ได้น้อยกว่า 20 g/L ในอาหารเลี้ยงเชื้อทุกความเข้มข้นของกลูโคสเริ่มต้น ดังนั้นหากใช้ปริมาณกลูโคสเริ่มต้นในการหมักมากกว่า 20 g/L นอกจากคลื่นปล่องแล้ว ปริมาณกลูโคสที่เหลือมากในอาหารเลี้ยงเชื้ออาจไปขับยั้งกระบวนการผลิตครดแลกติกไอโซเมอร์ L โดยยืน *ldhA* ของ *R. oryzae* อีกด้วย

3.5 การเปลี่ยนแปลงลำดับนิวคลีโอไทด์ของยีน *ldhA* ของ *R. oryzae* จากสายพันธุ์ที่ผ่านการทำ error-prone PCR

เมื่อทำการสกัดพลาสมิค pAOY4 จาก *E. coli* สายพันธุ์ TW4 จากนั้นทำการส่งตรวจการเปลี่ยนแปลงลำดับนิวคลีโอไทด์บนยีน *ldhA* จาก *R. oryzae* ที่อยู่บนพลาสมิคด้วยวิธี DNA Sequencing (Macrogen, Korea) พบว่าสำหรับพลาสมิค pAOY4 มีการเปลี่ยนแปลงที่นิวคลีโอไทด์ ตำแหน่ง 94 และ 204 หลัง Stop codon จาก G เป็น T ทั้ง 2 ตำแหน่ง โดยบทบาทของนิวคลีโอไทด์หลัง Stop codon นั้นยังไม่เป็นที่แน่ชัด แต่มีรายงานวิจัยเสนอว่าลำดับนิวคลีโอไทด์บริเวณหลัง Stop codon มีบทบาทในการหยุดกระบวนการถอดรหัสโปรตีน (Translation Termination) ซึ่งอาจมีส่วนเกี่ยวข้องกับการควบคุมการแสดงออกของยีน (Bertram *et al.*, 2001)

3.6 การศึกษาความเป็นไปได้ในการตัดต่อยีน *ldhA* ของ *R. oryzae* ลงบนดีเอ็นเอของ *E. coli*

เพื่อแก้ปัญหาความเสถียรของยีน *ldhA* จาก *R. oryzae* ซึ่งอยู่บนพลาสมิค คณะผู้วิจัยศึกษาความเป็นไปได้ในการนำยีน *ldhA* ของ *R. oryzae* ตัดต่อลงแท็บที่ยืน *ldhA* บนดีเอ็นเอของ *E. coli* แต่เนื่องจาก *ldhA* ของ *R. oryzae* และ *E. coli* มีความเหมือนกันประมาณ 40 เปอร์เซนต์เท่านั้น ซึ่งไม่เพียงพอเกิดกระบวนการแลกเปลี่ยนชิ้นส่วนดีเอ็นเอเพื่อให้ยืน *ldhA* ของ *R. oryzae* แท็บที่ยืน *ldhA* บนดีเอ็นเอของ *E. coli* ได้ ดังนั้นจึงการใช้เทคนิค XO PCR ในการสร้างชิ้นส่วนดีเอ็นเอสำหรับใช้แท็บที่ยืน *ldhA* บนโครงไม้ไผ่ของ *E. coli* ซึ่งชิ้นส่วนดีเอ็นเอนี้ประกอบด้วยยืน *ldhA* ของ *R. oryzae* และในส่วนหัวและท้ายของดีเอ็นเอชิ้นนี้มีลำดับนิวคลีโอไทด์เหมือนกับส่วนด้านหน้าและด้านหลังของยีน *ldhA* ของ *E. coli* ซึ่ง

ละประมาณ 700 คู่เบส โดยที่ต่อน้ำยืน *ldhA* ของ *R. oryzae* จะมีบริเวณตัดจำเพาะของเอนไซม์ *BsiWI* เพื่อให้ได้ marker กือยืน chloramphenicol acetyltransferase (*cat*) เพื่อให้ทำการคัดเลือกได้บนอาหารเลี้ยง เชื้อที่มียาปฏิชีวนะ Chloramphenicol ดังแผนงานที่แสดงไว้ในรูปที่ 4 ขั้นแรกเป็นการสร้าง Fragment 1 โดยวิธี PCR ซึ่งใช้ดีเอ็นเอของ *E. coli* สายพันธุ์ JC13509 เป็นดีเอ็นเอต้นแบบ และใช้ไพรเมอร์ prRB40 ซึ่งมีลำดับนิวคลีโอไทด์ 5'- CGCCCGGATCCCGCAGTTGCTGGAT- 3' (บริเวณขีดเดือนได้แทน ตำแหน่งตัดจำเพาะด้วยเอนไซม์ *BamHI*) โดยไพรเมอร์นี้จับบริเวณ 700 คู่เบสเหนือ Start codon ของยืน *ldhA* ของ *E. coli* กับไพรเมอร์ prRB38 ซึ่งมีลำดับนิวคลีโอไทด์คือ 5'- CATTGACTGCTTCGATTCTATAAACTGAGAAGACTTCTCCAGTGATGTTG-3' (บริเวณตัวเอียง เป็นลำดับนิวคลีโอไทด์ที่เหมือนกับบริเวณ 600 คู่เบสเหนือ Start codon ของยืน *ldhA* ของ *R. oryzae* บริเวณตัวหนาเป็นลำดับนิวคลีโอไทด์ที่เหมือนกับบริเวณเหนือ Start codon ของยืน *ldhA* ของ *E. coli*) ซึ่งไพรเมอร์นี้จับบริเวณเหนือ Start codon ของยืน *ldhA* ของ *E. coli* ทำให้เมื่อใช้ไพรเมอร์ prRB40 และ prRB38 ได้ผลิตภัณฑ์ PCR ที่ได้เป็นชิ้นส่วนดีเอ็นเอขนาดประมาณ 700 คู่เบส (รูปที่ 3.5 ก.) ส่วนวิธี Fragment 2 สร้างโดยวิธี PCR ซึ่งใช้โครโนโซมของ *R. oryzae* สายพันธุ์ NRRL395 เป็นดีเอ็นเอต้นแบบ และใช้ไพรเมอร์ prRB36 ซึ่งมีลำดับนิวคลีโอไทด์ 5'- CTCAGTTATAGAACATCGAACAGTCAATG - 3' (บริเวณตัวเอียงเป็นลำดับนิวคลีโอไทด์ที่เหมือนกับบริเวณ 600 คู่เบสเหนือ Start codon ของยืน *ldhA* ของ *R. oryzae*) โดยไพรเมอร์นี้จับบริเวณ 600 คู่เบสเหนือ Start codon ของยืน *ldhA* ของ *R. oryzae* กับไพรเมอร์ prRB37 ซึ่งมีลำดับนิวคลีโอไทด์คือ 5'- TGTGTCGTACGTACAATTGATTGT -3 (บริเวณขีดเดือนได้แทนตำแหน่งตัดจำเพาะด้วยเอนไซม์ *BsiWI*) โดยไพรเมอร์นี้จับบริเวณ 250 คู่เบสได้ Stop codon ของยืน *ldhA* ของ *R. oryzae* ทำให้เมื่อใช้ไพรเมอร์ prRB36 และ prRB37 ได้ผลิตภัณฑ์ PCR ที่ได้เป็นชิ้นส่วนดีเอ็นเอขนาดประมาณ 1800 คู่เบส (รูปที่ 3.5 ก.) ต่อจากนั้นทำการ XO PCR โดยเริ่มจาก Primerless PCR กีของการทำ PCR ที่ได้ Fragment 1 และ 2 แต่ไม่ได้ไพรเมอร์ลงไปในปฏิกิริยา ซึ่งบริเวณที่เหมือนกันของ Fragment 1 และ 2 สามารถจับกันได้ (บริเวณตัวเอียงในไพรเมอร์ prRB38 และ 36) จากนั้นจึงเติมไพรเมอร์ prRB40 และ 37 ลงไปภายหลังเพื่อเพิ่มจำนวน โดยผลิตภัณฑ์ที่ถูกต้องเป็นชิ้นส่วนดีเอ็นเอที่มีขนาดประมาณ 2500 คู่เบส (Fragment 1+2 ในรูปที่ 2.4, รูปที่ 3.5 ข.)

ปัญหาในการทดลองการทำ XO PCR เพื่อเชื่อม Fragment 1 และ 2 พนับว่าชิ้นส่วนดีเอ็นเอทั้ง 2 ชิ้นมักไม่เชื่อมต่อกัน จึงได้มีการทดลองหาอุณหภูมิในการทำ PCR ขั้น annealing ที่เหมาะสมด้วยวิธี Gradient PCR ซึ่งได้ผลการทดลองดังรูป 3.5 ข. ซึ่งอาจกล่าวได้ว่าอุณหภูมิในขั้น annealing ที่เหมาะสมเพื่อเชื่อมต่อชิ้นส่วนดีเอ็นเอ Fragment 1 และ 2 อยู่ที่ 42-50°C และได้ทำการสกัดชิ้นส่วนดีเอ็นเอขนาด 2500 คู่เบสนี้

ออกแบบแล้วนำเข้าสู่พลาสมิด pCR® 2.1-TOPO® (Invitrogen, USA) ซึ่งตั้งชื่อพลาสมิดที่เกิดขึ้นว่า pRB86 เพื่อเก็บรักษาและเพิ่มจำนวนชิ้นส่วนดีเอ็นเอดังกล่าว

ต่อมาคณะผู้วิจัยได้ทำการ XO ครั้งที่ 2 เพื่อเชื่อมส่วนท้ายของชิ้นส่วนดีเอ็นเอที่ต้องซึ่งมีลำดับนิวคลีโอไทด์เหมือนส่วนท้ายยีน *ldhA* ของ *E. coli* (Fragment 3 ในรูปที่ 2.4) กับ Fragment 1+2 ที่สังเคราะห์ได้เริ่มจากการเพิ่มจำนวน Fragment 1+2 บนพลาสมิด pRB86 โดยวิธี PCR ด้วยไพรเมอร์ prRB40 และ 37 และสร้าง Fragment 3 โดยวิธี PCR ซึ่งใช้โกรโนไซมของ *E. coli* สายพันธุ์ JC13509 เป็นดีเอ็นเอต้นแบบ และใช้ไพรเมอร์ prRB39 ซึ่งมีลำดับนิวคลีโอไทด์คือ 5'- *ACAATCGAATTGTACGTACGACACATCTTGC CGCTCCC CTGCATTCCAGG - 3'* (บริเวณตัวอ่องเป็นลำดับนิวคลีโอไทด์ที่เหมือนกับบริเวณ 250 คู่เบสใต้ Stop codon ของยีน *ldhA* ของ *R. oryzae* บริเวณตัวหนาเป็นลำดับนิวคลีโอไทด์ที่เหมือนกับบริเวณใต้ Stop codon ของยีน *ldhA* ของ *E. coli* บริเวณขีดเส้นใต้แทนตำแหน่งตัดจำเพาะด้วยเอนไซม์ *BsiWI*) โดยไพรเมอร์นี้จับบริเวณใต้ Stop codon ของยีน *ldhA* ของ *E. coli* กับไพรเมอร์ prRB41 ซึ่งมีลำดับนิวคลีโอไทด์คือ 5'- *GC GTCGGGATCCAGTAGTGGAG -3* (บริเวณขีดเส้นใต้แทนตำแหน่งตัดจำเพาะด้วยเอนไซม์ *BamHI*) ซึ่งไพรเมอร์นี้จับบริเวณ 700 คู่เบสใต้ Stop codon ของยีน *ldhA* ของ *E. coli* ทำให้มีอีกไพรเมอร์ prRB39 และ prRB41 ได้ผลิตภัณฑ์ PCR ที่ได้เป็นชิ้นส่วนดีเอ็นเอขนาดประมาณ 700 คู่เบส (รูปที่ 3.5 ค.)

อย่างไรก็ตาม คณะผู้วิจัยไม่สามารถใช้เทคนิค XO PCR เพื่อเชื่อม Fragment 1+2 เข้ากับ Fragment 3 ได้ คณะผู้วิจัยได้พยายามแก้ไขโดยการทำ Gradient PCR เพื่อทดลองหาอุณหภูมิในการทำ PCR ขั้น annealing รวมถึงหารปรับเปลี่ยนหากา率ต่างๆ ที่เหมาะสมในการทำ PCR ซึ่งก็ไม่สามารถแก้ไขปัญหาได้ ปัญหาที่ไม่สามารถสังเคราะห์ชิ้นส่วนดีเอ็นเอได้นี้อาจเกิดจากเครื่อง PCR ที่ทางสถาบันฯ มือญี่ปุ่นเครื่องเดียวชำรุดที่ฝาเครื่องปิดไม่สนิท ทำให้ไม่สามารถทำ PCR ชิ้นส่วนดีเอ็นเอขนาดยาวได้ และความเสียหายนี้ไม่สามารถซ่อมได้ คณะผู้วิจัยได้พยายามหาทางใช้เครื่อง PCR ในหน่วยงานอื่นแต่ก็ล่าช้าและไม่สะดวก รวมทั้งการจัดหาครุภัณฑ์เพื่อหาเครื่อง PCR เครื่องใหม่นั้นยุ่งยากและล่าช้า คณะผู้วิจัยจึงตัดสินใจหยุดทำการทดลองนี้ แต่ทั้งนี้คณะผู้วิจัยอยู่ในระหว่างการหาความเป็นไปได้ในการสร้างชิ้นส่วนดีเอ็นเอดังกล่าว เพื่อตัดต่อใน *ldhA* ของ *R. oryzae* ลงบนดีเอ็นเอของ *E. coli* เช่น การออกแบบชิ้นส่วนให้มีบริเวณตัดจำเพาะด้วยเอนไซม์และเชื่อมต่อด้วยวิธีใช้ออนไซม์ Ligase เป็นต้น

ตารางที่ 3.1 ความเข้มข้นของกรดแลกติกไออกซเมอร์ L ที่ผลิตได้และกลูโคสที่เหลือจาก *E. coli* สายพันธุ์ต่างๆ

สายพันธุ์ ^a	ชื่น <i>ldhA</i> บน โครโน่ไซม <i>E. coli</i> ^b	พลาสมิด ^c	ภาวะการหมัก ^d	ความเข้มข้นกรดแลกติก ไออกซเมอร์ L ที่ผลิต(ug/L)	ความเข้มข้นกลูโคสที่เหลือ ^e (g/L)	Y_{ps}
JC13509 (WT)	+	-	1	0.42 ± 0.080	81.33 ± 8.031	0.00
RB7	-	-	1	0.43 ± 0.083	98.43 ± 0.7638	0.00
RB24 (No Amp ^f)	-	pRB85	1	3.86 ± 4.011	91.93 ± 6.468	0.04
RB24	-	pRB85	1	1.80 ± 2.564	84.70 ± 1.908	0.02
RB29	-	pKS(+)	1	0.27 ± 0.110	81.67 ± 9.471	0.00
RB30	+	pRB85	1	0.35 ± 0.141	86.77 ± 13.536	0.00
RB31	+	pKS(+)	1	0.41 ± 0.078	86.30 ± 4.636	0.00
JC13509 (WT)	+	-	2	0.34 ± 0.015	78.20 ± 8.455	0.00
RB7	-	-	2	ND ^f	ND	ND
RB24 (No Amp ^f)	-	pRB85	2	5.03 ± 4.149	82.03 ± 6.062	0.05
RB24	-	pRB85	2	0.57 ± 0.238	85.60 ± 10.048	0.01
RB29	-	pKS(+)	2	0.34 ± 0.053	85.77 ± 11.075	0.00
RB30	+	pRB85	2	0.33 ± 0.015	82.30 ± 5.966	0.00
RB31	+	pKS(+)	2	0.36 ± 0.031	80.83 ± 9.963	0.00
JC13509 (WT)	+	-	3	0.31 ± 0.038	45.00 ± 5.340	0.00
RB7	-	-	3	0.22 ± 0.076	50.03 ± 4.834	0.00
RB24 (No Amp ^f)	-	pRB85	3	1.18 ± 1.341	47.27 ± 0.924	0.01
RB24	-	pRB85	3	1.74 ± 1.386	51.40 ± 3.538	0.02
RB29	-	pKS(+)	3	0.30 ± 0.042	45.53 ± 3.691	0.00
RB30	+	pRB85	3	0.32 ± 0.048	44.17 ± 4.990	0.00
RB31	+	pKS(+)	3	0.36 ± 0.072	47.80 ± 1.473	0.00
JC13509 (WT)	+	-	4	0.27 ± 0.038	33.20 ± 18.654	0.00
RB7	-	-	4	0.22 ± 0.125	46.00 ± 12.601	0.00
RB24 (No Amp ^f)	-	pRB85	4	0.25 ± 0.091	48.30 ± 3.560	0.00
RB24	-	pRB85	4	1.95 ± 1.517	53.83 ± 2.196	0.02
RB29	-	pKS(+)	4	0.20 ± 0.131	40.50 ± 18.357	0.00
RB30	+	pRB85	4	0.28 ± 0.049	46.87 ± 2.290	0.00
RB31	+	pKS(+)	4	0.34 ± 0.071	40.63 ± 8.165	0.00

^a ทุกสายพันธุ์ที่ใช้ในการทดลองนี้ใช้สายพันธุ์ JC13509 เป็นสายพันธุ์ดั้งเดิมและใช้เป็น wild type

^b + หมายถึงชีน *ldhA* บน โครโน่ไซม *E. coli* ไม่มีคุณทำลายซึ่งก็คือ JC13509 ซึ่งเป็น wild type ส่วน RB30, RB31 ก็คือ JC13509 ที่มีพลาสมิด

- หมายถึงชีน *ldhA* *E. coli* บน โครโน่ไซม ทำลายได้แก่ RB7 ซึ่งก็มีชีน *pta* คุณทำลายเข่นกัน ส่วน RB24, RB29 ก็คือ RB7 ที่มีพลาสมิด

^c - หมายถึง ไม่มีพลาสมิด pKS(+) หมายถึงพลาสมิด pBluescript II KS(+) pRB85 ก็คือพลาสมิด pBluescript II KS(+) ที่มีชีน *ldhA* จาก *R. oryzae*

^d ภาวะต่างๆที่ใช้ในการหมักเป็นไปตามที่แสดงในตารางที่ 2.1

^e ทุกสายพันธุ์ที่มีพลาสมิดเคม Ampicilin ในอาหารเลี้ยงเชื้อทุกขั้นตอนเพื่อรักษาพลาสมิดไว้ ยกเว้นสายพันธุ์ที่ระบุว่า RB24 (No Amp) ก็คือ RB24 ที่ไม่ได้เคม Ampicilin ในอาหารเลี้ยงเชื้อ

^f ND หมายถึง ไม่ได้ทดลองเนื่องจาก RB7 เจริญเติบโตได้น้อยมากในภาวะที่ไม่มีออกซิเจน

ตารางที่ 3.2 ความเข้มข้นของกรดแลกติกไฮโซเมอร์ L ที่ผลิตได้และกลูโคสที่เหลือจาก *E. coli* สายพันธุ์ที่มียีน *ldhA* จาก *R. oryzae* ซึ่งผ่านการทำ error-prone PCR และตัดต่อลงบนพลาสมิด

สายพันธุ์ ^a	ความเข้มข้นของกรดแลกติกไฮโซเมอร์ L ที่ผลิต (g/L)	ความเข้มข้นของกลูโคสที่เหลือ (g/L) ^b	$Y_{P/S}$
JC13509 (WT)	0.08 ± 0.014	10.14 ± 5.325	0.00
RB7	0.43 ± 0.021	12.86 ± 6.421	0.02
RB24	2.02 ± 0.523	9.56 ± 4.830	0.10
TW4	6.74 ± 0.000	4.51 ± 0.863	0.34

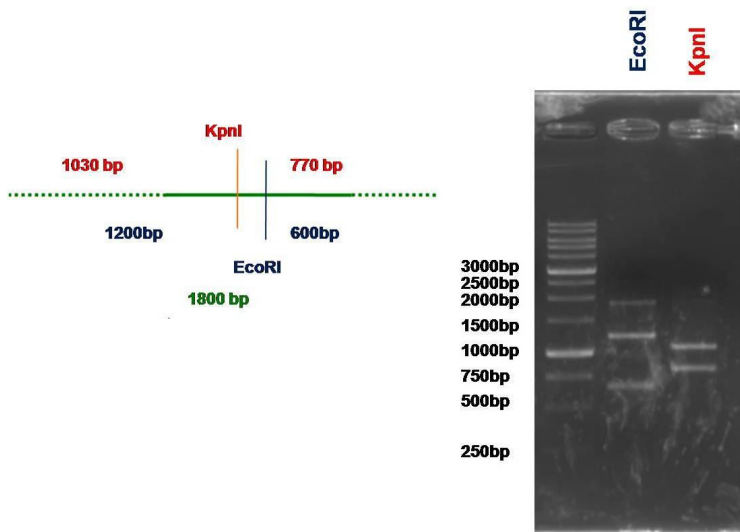
^a ทุกสายพันธุ์ที่ใช้ในการทดลองนี้ใช้สายพันธุ์ JC13509 เป็นสายพันธุ์ตั้งต้นและใช้เป็น wild type

^b ความเข้มข้นของกลูโคสเริ่มต้นในอาหารเดิมเชื่อว่ามีการหมักคือ 20 g/L

ตารางที่ 3.3 ความเข้มข้นของกรดแลกติกไอโซเมอร์ L ที่ผลิตได้และกลูโคสที่เหลือจาก *E. coli* สายพันธุ์ต่างๆ เมื่อใช้ความเข้มข้นของกลูโคสเริ่มต้นในการหมักต่างกัน

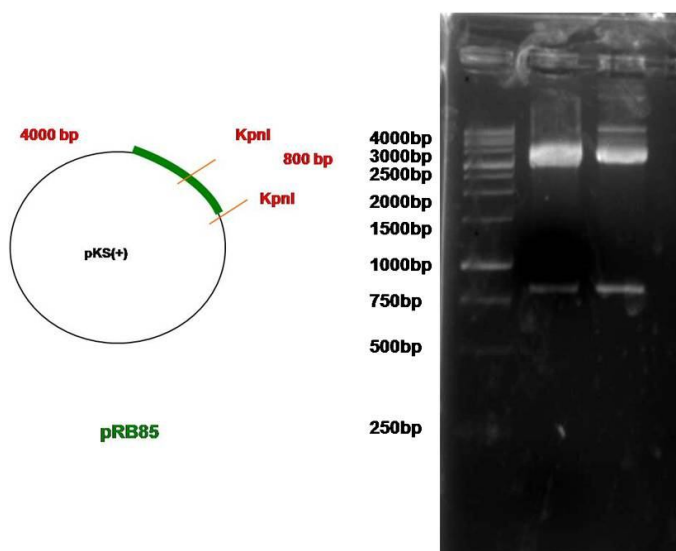
ความเข้มข้นของ กลูโคสเริ่มต้น (g/L)	สายพันธุ์ ^a	ความเข้มข้นของกรดแลกติก ไอโซเมอร์ L ที่ผลิต (g/L)	ความเข้มข้นของกลูโคสที่เหลือ ในอาหารเลี้ยงเชื้อ (g/L)	$Y_{P/S}$
20	JC13509 (WT)	0.08 ± 0.014	10.14 ± 5.325	0.00
	RB7	0.43 ± 0.021	12.86 ± 6.421	0.02
	RB24	2.02 ± 0.523	9.56 ± 4.830	0.10
	TW4	6.74 ± 0.000	4.51 ± 0.863	0.34
30	JC13509 (WT)	0.08 ± 0.007	6.01 ± 0.573	0.00
	RB7	0.17 ± 0.085	2.04 ± 0.106	0.01
	RB24	1.56 ± 0.339	17.20 ± 5.515	0.05
	TW4	6.84 ± 2.355	13.85 ± 0.071	0.23
50	JC13509 (WT)	0.03 ± 0.014	8.11 ± 1.237	0.00
	RB7	0.04 ± 0.014	8.81 ± 1.379	0.00
	RB24	2.38 ± 0.113	20.30 ± 2.121	0.05
	TW4	5.48 ± 1.061	24.35 ± 2.475	0.11
70	JC13509 (WT)	0.01 ± 0.007	0.00 ± 0.00	0.00
	RB7	0.03 ± 0.007	5.06 ± 2.871	0.00
	RB24	3.14 ± 0.148	43.30 ± 21.980	0.04
	TW4	7.85 ± 0.354	43.80 ± 1.414	0.11

^a ทุกสายพันธุ์ที่ใช้ในการทดลองนี้ สายพันธุ์ JC13509 เป็นสายพันธุ์ตั้งต้นและใช้เป็น wild type



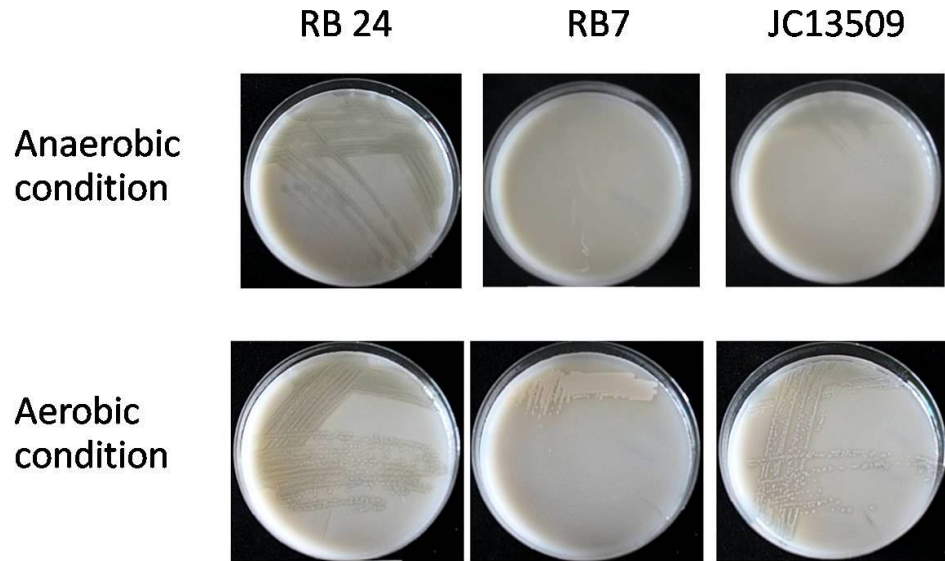
รูปที่ 3.1 การตรวจสอบความถูกต้องของผลิตภัณฑ์ PCR ที่มียีน *ldhA* ของ *R. oryzae* ก่อนตัดต่อเข้าสู่พลาสติก

ผลิตภัณฑ์ PCR ที่ได้มีขนาดประมาณ 1800 คู่เบส ซึ่งประกอบด้วยยีน *ldhA*, promoter และ ribosome binding site ชิ้นส่วนดีเอ็นเอที่ถูกต้องเมื่อตัดด้วยendonuclease EcoRI ได้ชิ้นส่วนดีเอ็นเอขนาดประมาณ 1200 และ 600คู่เบส และเมื่อตัดด้วยendonuclease KpnI ได้ชิ้นส่วนดีเอ็นเอขนาดประมาณ 1030 และ 770 คู่เบส โดยใช้ Agarose Electrophoresis ในการแยกขนาดชิ้นส่วนดีเอ็นเอ ที่ Agarose มีความเข้มข้น 1% w/v



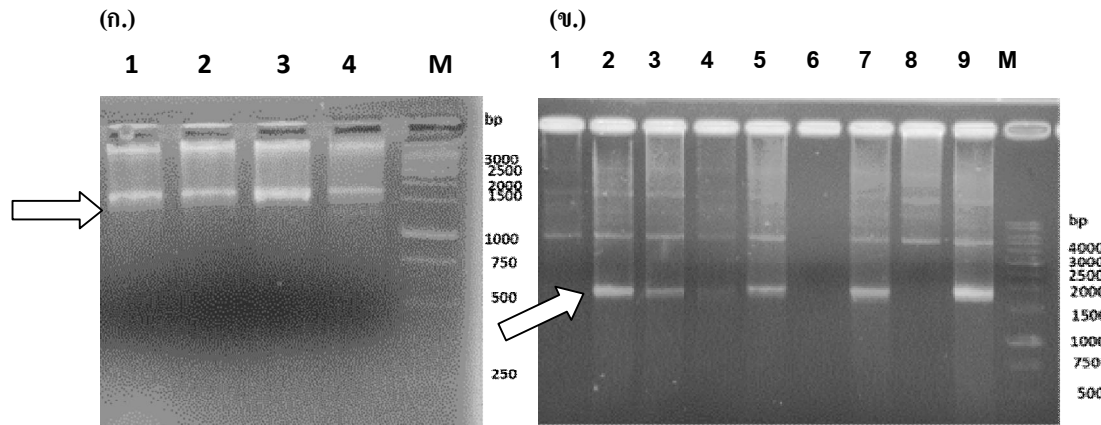
รูปที่ 3.2 การตรวจสอบพลาสมิดที่มียีน *ldhA* ของ *R. oryzae* โดยการตัดด้วยเอนไซม์ *KpnI*

เมื่อนำผลิตภัณฑ์ PCR ที่ได้ซึ่งมีขนาดประมาณ 1800คู่เบส ใส่เข้าสู่พลาสมิด pBlueScript II KS(+) พลาสมิดที่มียีนดังกล่าวหากตัดด้วยเอนไซม์ *KpnI*จะได้ชิ้นส่วนเดิมเนื้อขนาดประมาณ 4000 และ 800คู่เบสซึ่งสามารถตรวจสอบได้ด้วยเทคนิค Agarose Electrophoresis โดยรูปเจลที่แสดงในรูปเป็นAgarose 1% w/v โดยพลาสมิดที่พบว่ามียีน *ldhA* ของ *R. oryzae* นี้มีชื่อเรียกว่า pRB85



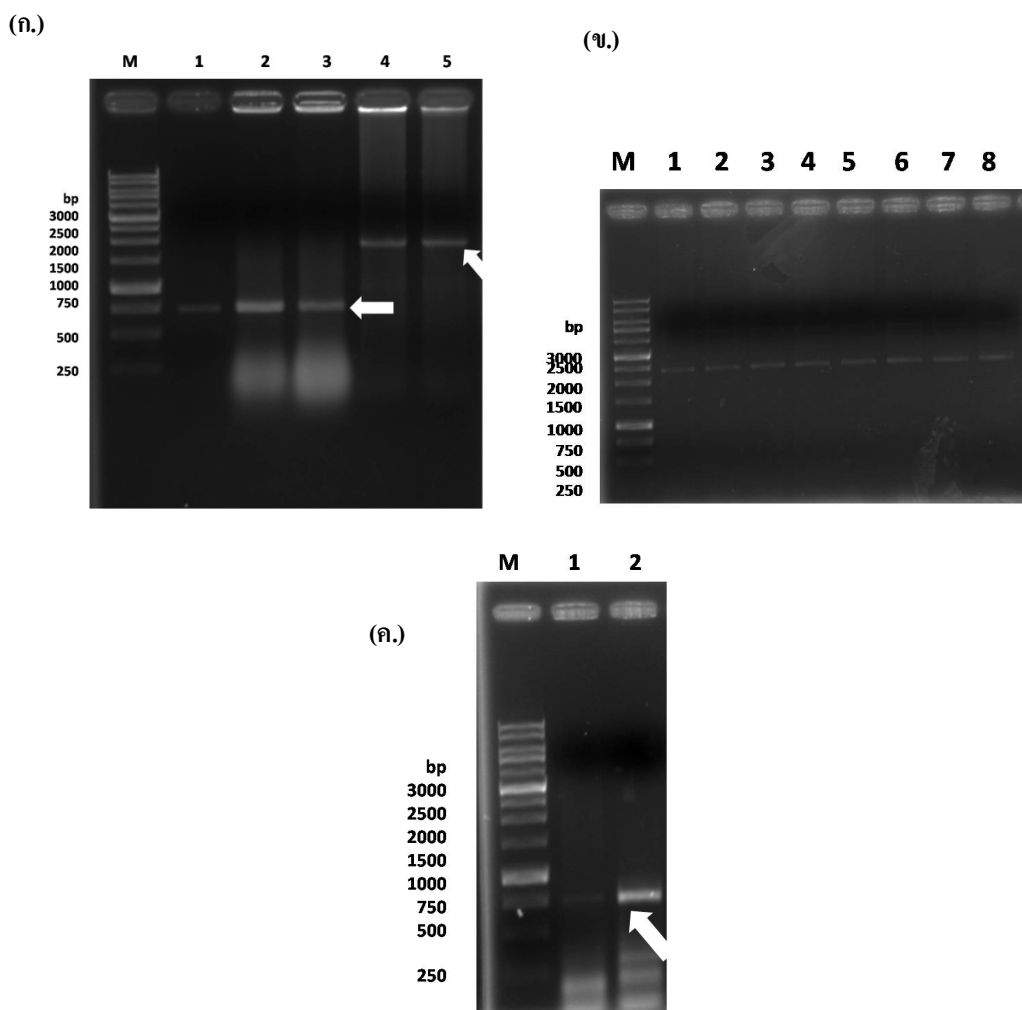
รูปที่ 3.3 การเจริญเติบโตและ clear zone ของ *E.coli* เมื่อได้รับพลาสมิดที่มียีน *ldhA* ของ *R. oryzae*

กระบวนการเป็นการเลี้ยงเชื้อในอาหารเลี้ยงเชื้อแข็ง ชนิด Cultivation ในสภาวะที่ไม่มีออกซิเจน ถ้าล่างเป็น การเลี้ยงเชื้อในสภาวะที่มีออกซิเจน ทั้งการเลี้ยงในทึ่งสองสภาวะนั้นบ่อมเซลล์ที่อุณหภูมิ 37°C เป็นเวลา 2 วัน โดยสายพันธุ์ RB7 ซึ่งมียีน *ldhA* บนคีเอ็นเอถูกทำลาย สามารถเจริญเติบโตได้ดีในภาวะที่มีออกซิเจน เท่านั้น ในขณะที่สายพันธุ์ RB24 (RB7 ที่มี plasmid pRB85) และ JC13509 (wild type) เจริญเติบโตได้ดีทั้ง ในภาวะที่มีและไม่มีออกซิเจนและสร้าง clear zone ซึ่งแสดงว่ามีการสร้างกรดและได้น้ำไปทดสอบในขัน ต่อไปว่ามีการผลิตกรดแลกติกไอโซเมอร์ L ปริมาณเท่าใด



รูปที่ 3.4 การหาภาวะที่เหมาะสมในการทำ error-prone PCR ของยีน *ldhA* จาก *R. oryzae* โดยใช้พลาสมิด pRB85 เป็นดีอีนและต้นแบบโดยทำการเปลี่ยนแปลงความเข้มข้นของ $MgCl_2$ และ $MnCl_2$ เมื่อใช้ Agarose Electrophoresis ที่ Agarose มีความเข้มข้น 1% w/v ในการแยกขนาดชิ้นส่วนดีอีนและ M คือ 1 kb DNA Marker

- (ก.) Lane 1 ใช้ $MgCl_2$ ความเข้มข้น 1.0 mM และ $MnCl_2$ ความเข้มข้น 0.4 mM
 Lane 2 ใช้ $MgCl_2$ ความเข้มข้น 0.75 mM และ $MnCl_2$ ความเข้มข้น 0.3 mM
 Lane 3 ใช้ $MgCl_2$ ความเข้มข้น 0.5 mM และ $MnCl_2$ ความเข้มข้น 0.2 mM
 Lane 4 ใช้ $MgCl_2$ ความเข้มข้น 0.25 mM และ $MnCl_2$ ความเข้มข้น 0.1 mM
- (ข.) Lane 1 ใช้น้ำแทนบัฟเฟอร์ในปฏิกริยา PCR
 Lane 2 ใช้บัฟเฟอร์สำเร็จรูปที่มี $MgCl_2$ 15 mM
 Lane 3 ใช้ $MgCl_2$ ความเข้มข้น 0.75 mM และ $MnCl_2$ ความเข้มข้น 0.1 mM
 Lane 4 ใช้ $MgCl_2$ ความเข้มข้น 0.75 mM และ $MnCl_2$ ความเข้มข้น 0.3 mM
 Lane 5 ใช้ $MgCl_2$ ความเข้มข้น 0.75 mM และ $MnCl_2$ ความเข้มข้น 0.4 mM
 Lane 6 ใช้ $MgCl_2$ ความเข้มข้น 0.75 mM และ $MnCl_2$ ความเข้มข้น 0.5 mM
 Lane 7 ใช้ $MgCl_2$ ความเข้มข้น 1.75 mM และ $MnCl_2$ ความเข้มข้น 0.05 mM
 Lane 8 ใช้ $MgCl_2$ ความเข้มข้น 1.5 mM และ $MnCl_2$ ความเข้มข้น 0.05 mM
 Lane 9 ใช้ $MgCl_2$ ความเข้มข้น 1.25 mM และ $MnCl_2$ ความเข้มข้น 0.05 mM



รูปที่ 3.5 การทำ XO PCR เพื่อสร้างชิ้นส่วนดีเอ็นเอที่มียีน *ldhA* ของ *R. oryzae* สำหรับแทนที่ยีน *ldhA* บนดีเอ็นเอของ *E. coli*

เมื่อใช้ Agarose Electrophoresis ที่ Agarose มีความเข้มข้น 1% w/v ในการแยกขนาดชิ้นส่วนดีเอ็นเอ และ M คือ 1 kb DNA Marker

(ก.) Fragment 1 ขนาดประมาณ 700 คู่เบส (Lane 1-3) เกิดจาก PCR โดยใช้ดีเอ็นเอของ *E. coli* เป็นดีเอ็นเอต้นแบบและใช้ไพรเมอร์ prRB40 และ 38 และ Fragment 2 ขนาดประมาณ 1800 คู่เบส (Lane 4-5) เกิดจาก PCR โดยใช้โคโรน่าซิม *R. oryzae* เป็นดีเอ็นเอต้นแบบและใช้ไพรเมอร์ prRB36 และ 37

(ว.) การหาอุณหภูมิในขั้น annealing ที่เหมาะสมในการทำ XO PCR Fragment 1 และ 2 โดยใช้อุณหภูมิ 50°C (Lane 1), 549.4°C (Lane 2), 48.3°C (Lane 3), 47°C (Lane 4), 45.1°C (Lane 5), 42.5°C (Lane 6), 42.5°C (Lane 7) และ 42°C (Lane 8)

(ก.) Fragment 3 ขนาดประมาณ 700 คู่เบส (Lane 1-2) เกิดจาก PCR โดยดีเอ็นเอของ *E. coli* เป็นดีเอ็นเอต้นแบบและใช้ไพรเมอร์ prRB39 และ 41

บทที่ 4

สรุปผลการวิจัย อภิปรายผล และข้อเสนอแนะ

4.1 สรุปผลการวิจัยและอภิปรายผล

จากการทดลองในโครงการวิจัยนี้พบว่าเมื่อนำยีน *ldhA* ของ *R. oryzae* ตัดต่อเข้าสู่พลาสมิด pBluescript II KS(+) ยีน *ldhA* นี้สามารถแสดงออกได้ใน *E. coli* ที่มีการทำลายยีน *ldhA* บนดีเอ็นเอของ *E. coli* (สายพันธุ์ RB24) โดยเมื่อทำการหมักในภาวะต่างๆ ในระดับ Shake flask เมื่อใช้กลูโคสเริ่มต้นในการหมัก 100 g/L พบว่าการหมักในภาวะที่ไม่มีออกซิเจนโดยการไม่เติม Ampicillin ลงในอาหารเลี้ยงเชื้อพบการผลิตกรดแลกติกไオโซเมอร์ L มากที่สุดที่ความเข้มข้น 5.03 ± 4.149 g/L ซึ่งการที่เซลล์สามารถรักษาพลาสมิดไว้ได้โดยไม่ต้องใส่ Ampicillin ในอาหารเลี้ยงเชื้อในภาวะนี้แสดงว่ายีน *ldhA* มีความสามารถต่อ *E. coli* ในภาวะที่ไม่มีออกซิเจน และสายพันธุ์ RB24 ต้องการใช้ยีน *ldhA* ของ *R. oryzae* บนพลาสมิดเพื่อชดเชยการสูญเสีย *ldhA* บนดีเอ็นเอของ *E. coli* อย่างไรก็ตาม การผลิตกรดแลกติกไオโซเมอร์ L ยังมีปริมาณน้อยและกลูโคสเหลืออยู่ในอาหารเลี้ยงเชื้อในปริมาณมากหลังทำการหมัก 48 ชั่วโมง ซึ่งกลูโคสในปริมาณนี้อาจขึ้นอยู่กับกระบวนการผลิตกรดแลกติก นอกจากนี้ยังพบว่าการหมักในภาวะที่ไม่มีออกซิเจนโดยการไม่เติม Ampicillin ลงในอาหารเลี้ยงเชื้อพบการผลิตกรดแลกติกไオโซเมอร์ L ในแต่ละชุดการทดลองมีความแตกต่างกันค่อนข้างมาก ซึ่งอาจเกิดจาก การสูญเสียพลาสมิดหากมีออกซิเจนเข้าสู่ระบบการทดลอง (Boonsombat, 2013) ดังนั้นคณานักวิจัยได้ทำการทดสอบหาภาวะการหมักที่เหมาะสมกว่าสำหรับการใช้คัดเลือก *E. coli* สายพันธุ์ที่ผลิตกรดแลกติกไオโซเมอร์ L ได้ดีในขั้นต่อๆ ไป ซึ่งพบว่าภาวะที่เหมาะสมที่สุดในการผลิตกรดแลกติกไオโซเมอร์ L จาก *E. coli* สายพันธุ์ RB24 คือการใช้อาหารเหลว Pre-culture ที่มีกลูโคสเข้มข้น 10 g/L CaCO_3 เข้มข้น 5 g/L และเติม Ampicillin ที่มีความเข้มข้นสุดท้าย 100 $\mu\text{g}/\text{mL}$ ทำเลี้ยงที่อุณหภูมิ 37 °C เขย่าด้วยความเร็ว 200 rpm เป็นเวลา 1 คืน เพื่อเพิ่มเซลล์ตึ้งต้นสำหรับการหมัก จากนั้นใช้ Fermentation broth ที่มีกลูโคสเข้มข้น 20 g/L CaCO_3 เข้มข้น 20 g/L และเติม Ampicillin ที่มีความเข้มข้นสุดท้าย 100 $\mu\text{g}/\text{mL}$ ทำการหมักโดยเลี้ยงเซลล์ที่อุณหภูมิ 37 °C ในภาวะที่ไม่มีออกซิเจนเป็นเวลา 48 ชั่วโมง โดยการหมักด้วยภาวะนี้ได้ผลผลิตกรดแลกติกไオโซเมอร์ L ในการทดลองแต่ชุดการทดลองมีความคงที่มากขึ้น

สำหรับการใช้เทคนิค error-prone PCR เพื่อทำให้ยีน *ldhA* ของ *R. oryzae* เกิดการกลายพันธุ์แบบสุ่ม งานนี้ทำการตัดต่อผลิตภัณฑ์จากการทำ error-prone PCR ตัดต่อเข้าสู่พลาสมิดและนำเข้าสู่

E. coli สายพันธุ์ RB7 เมื่อทำการคัดเลือกพบว่าเทคนิคดังกล่าวช่วยให้การผลิตกรดแลกติกไฮโซเมอร์ L สูงกว่า *E. coli* สายพันธุ์ RB24 ได้ประมาณ 7 เท่าจากการตรวจสอบลำดับนิวคลีโอไทด์พบว่า尼วคลีโอไทด์ตำแหน่ง 94 และ 204 หลังจาก stop codon เปลี่ยนจาก G เป็น T แต่บทบาทของลำดับนิวคลีโอไทด์หลัง Stop codon แต่อาจเกี่ยวข้องกับการควบคุมการแสดงออกของยีน โดยเฉพาะในการการหยุดการแปลรหัสโปรตีน (Translation Termination)

ในการศึกษาปัจจัยภายในเรื่องความเข้มข้นของกลูโคสเริ่มต้นสำหรับการหมักที่อาจมีผลต่อการผลิตกรดแลกติกจาก *E. coli* พบว่า *E. coli* ที่ได้รับการปรับปรุงสายพันธุ์มีการผลิตกรดแลกติกที่ดีที่สุดเมื่อใช้ความเข้มข้นของกลูโคสเริ่มต้น 20 g/L เนื่องจาก *E. coli* สายพันธุ์เหล่านี้นำกลูโคสไปใช้ได้น้อยกว่า 20 g/L ดังนั้นหากใช้ปริมาณกลูโคสเริ่มต้นในการหมักมากจากจะสิ้นเปลืองแล้วปริมาณกลูโคสที่เหลือในอาหารเหลียงเชื้อถ้ามีมากอาจจะไปยับยั้งกระบวนการผลิตกรดแลกติกไฮโซเมอร์ L โดยยีน *ldhA* ของ *R. oryzae* บนพลาสมิด

เพื่อให้ผลิตกรดแลกติกไฮโซเมอร์ L จาก *E. coli* มีความเสถียรมากขึ้น คณะผู้วิจัยได้พยายามตัดต่อยีน *ldhA* จาก *R. oryzae* แทนที่ยีน *ldhA* บนดีเอ็นเอของ *E. coli* แต่เนื่องจากยีน *ldhA* ของ *R. oryzae* และ *E. coli* มีความเหมือนกันประมาณ 40 เปอร์เซนต์เท่านั้น ซึ่งไม่เพียงพอต่อกระบวนการแลกเปลี่ยนชิ้นส่วนดีเอ็นเอเพื่อให้ยีน *ldhA* ของ *R. oryzae* แทนที่ยีน *ldhA* บนดีเอ็นเอของ *E. coli* ได้ คณะผู้วิจัยได้ใช้เทคนิค XO PCR ในการสร้างชิ้นส่วนดีเอ็นเอที่ประกอบด้วยยีน *ldhA* ของ *R. oryzae* และในส่วนหัวและท้ายของดีเอ็นเอชิ้นนี้จะมีลำดับนิวคลีโอไทด์เหมือนกับส่วนด้านหน้าและด้านหลังของยีน *ldhA* ของ *E. coli* โดยชิ้นส่วนดีเอ็นเอที่สังเคราะห์ได้เพื่อนำไปใช้แทนที่ยีน *ldhA* บนดีเอ็นเอของ *E. coli* ความมีขนาดประมาณ 3200 คู่เบส อย่างไรก็ตาม จากปัญหาเครื่องมือที่ใช้ในการทดลองชารุดและไม่สามารถซ้อมได้ ทำให้ไม่สามารถใช้สร้างชิ้นส่วนดีเอ็นเอขนาดยาวได้ การทดลองส่วนนี้จึงไม่สามารถดำเนินต่อไปได้ อย่างไรก็ตามคณะผู้วิจัยอยู่ระหว่างการศึกษาเทคนิคอื่นในการตัดต่อยีน *ldhA* จาก *R. oryzae* แทนที่ยีน *ldhA* บนดีเอ็นเอของ *E. coli*

แม้ว่าเทคนิค error-prone PCR สามารถช่วยให้ *E. coli* สามารถผลิตกรดแลกติกไฮโซเมอร์ L ได้มากขึ้น และกรดแลกติกที่ได้ยังมีปริมาณน้อย จึงจำเป็นต้องพัฒนากระบวนการผลิตกรดแลกติกที่มีประสิทธิภาพดีขึ้นต่อไป

2. ข้อเสนอแนะ

การพัฒนาการการผลิตกรดแลกติกไฮโซเมอร์ L ในระดับ Shake Flask นี้เป็นข้อมูลเพื่อประยุกต์ใช้ในการผลิตในระดับใหญ่ขึ้นให้มีความคุ้มทุนในการผลิต ทั้งนี้เมื่อใช้การแสดงออกของยีน

ldhA จาก *R. oryzae* บนพลาสมิด pRB85 ใน *E. coli* พบการผลิตกรดแลกติก ไอโซเมอร์ L และเทคนิค error-prone PCR สามารถช่วยปรับปรุงให้ *E. coli* สามารถผลิตกรดแลกติก ไอโซเมอร์ L ได้ดีขึ้น แต่ ปริมาณกรดแลกติก ไอโซเมอร์ L ที่ผลิตได้ยังพนในปริมาณน้อย ซึ่งแนวทางในการพัฒนาการผลิต กรดแลกติกในปริมาณมากขึ้น อาจทำได้โดย

- (1.) หาแหล่งการรับอนและ ในโตรเจนที่เหมาะสมสำหรับอาหารเลี้ยงเชื้อ รวมถึงการหาแหล่งการรับอน และ ในโตรเจนที่มีราคาถูกเพื่อลดค่าใช้จ่าย
- (2.) วิเคราะห์หาสารปนเปื้อนอื่นๆที่เกิดขึ้นในการผลิตกรดแลกติก ทั้งนี้หากพบการปนเปื้อนของสาร ได้ในปริมาณมาก สามารถกลับไปศึกษาว่าสารนี้ เป็นผลมาจากการใดซึ่งเพื่อหาตัวขับยังไงกันนั้น
- (3.) ทำการทดลองใช้เทคนิค error-prone PCR เพื่อให้เกิดการกลายพันธุ์แบบสุ่มต่อไป โดยคัดเลือก โคลนในจำนวนมากขึ้นเพื่อหาโคลนที่สามารถผลิตกรดแลกติก ไอโซเมอร์ L ได้ดีกว่าเดิม
- (4.) ใช้เทคนิคอื่นในการตัดต่อยีน *ldhA* ของ *R. oryzae* เข้าแทนที่บันคีอีนของ *E. coli* เพื่อเพิ่มความ เสถียรของยีน รวมทั้งไม่ต้องใช้ยาปฏิชีวนะเพื่อการรักษาพลาสมิด
- (5.) ทำการทำลาย (knock out) ยีน เช่น *frdABC*, *pflB* และ *adhE* ในสายพันธุ์ RB24 และ TW4 ซึ่งยีน เหล่านี้เกี่ยวข้องกับวิถีการหมักของ *E. coli* โดยการทำลายยีนเหล่านี้อาจทำให้ผลผลิตกรดแลกติก ไอโซเมอร์ L มากขึ้น เพราะ ไฟ鲁废物จะไม่ถูกเปลี่ยนเป็นผลผลิตอื่น ดังนั้นเซลล์ควรจะใช้ยีน *ldhA* บนพ ลาสมิดอย่างเดียวเพื่อเปลี่ยน ไฟ鲁废物เป็นกรดแลกติก ไอโซเมอร์ L (Zhao et al, 2013)

ກາຄພນວກ

ອາຫາຣເລື່ອງເຂົ້ອ

1. ອາຫາຣເຫດວ (1 L)

10 g Bacto-peptone

5 g Yeast extract

10 g NaCl

ລະຄາຍໃນນໍາປ່ຽນປິມາຕາຮັບເປັນ 1 L ແລ້ວນໍາໄປອົບມ່າເຂົ້ອດ້ວຍໄອນໍາ

2 ອາຫາຣແຈ້ງ LB

ອາຫາຣເຫດວ LB ເຕີມ 2% Bacto agar ແລ້ວນໍາໄປອົບມ່າເຂົ້ອດ້ວຍໄອນໍາ

3. ອາຫາຣເຫດວ Enrichment (1 L)

10 g Glucose

5 g Yeast Extract

5g Peptone

0.25 g KH₂PO₄

0.25 g K₂HPO₄

5 mL Salt Solution

ລະຄາຍໃນນໍາປ່ຽນປິມາຕາຮັບເປັນ 1 L ແລະປ່ຽນ pH ເປັນ 6.8 ແລ້ວນໍາໄປອົບມ່າເຂົ້ອດ້ວຍໄອນໍາ

4. ອາຫາຣແຈ້ງ Purification (1 L)

10 g Glucose

5 g Yeast Extract

5 g Peptone

0.25 g KH₂PO₄

0.25 g K₂HPO₄

2.5 g CaCO₃

10 g Agar

5 mL Salt Solution

ລະຄາຍໃນນໍາປ່ຽນປິມາຕາຮັບເປັນ 1 L ແລະປ່ຽນ pH ເປັນ 6.8 ແລ້ວນໍາໄປອົບມ່າເຂົ້ອດ້ວຍໄອນໍາ

5. ອາຫາຣແຈ້ງ Culivation ທັ້ງໝົດ plate ແລະ slant (1 L)

10 g Glucose
 5 g Yeast Extract
 5 g Peptone
 0.25 g KH_2PO_4
 0.25 g K_2HPO_4
 5 g CaCO_3
 10 g Agar

5 mL Salt Solution

ละลายในน้ำปรับปริมาตรเป็น 1 L และปรับ pH เป็น 6.8 แล้วนำไปอบผ่าเชื้อด้วยไอน้ำ

6. อาหารเหلو Pre-culture broth (1 L)

10 g Glucose
 5 g Yeast Extract
 5 g Peptone
 0.25 g KH_2PO_4
 0.25 g K_2HPO_4
 5 g CaCO_3

5 mL Salt Solution

ละลายในน้ำปรับปริมาตรเป็น 1 L และปรับ pH เป็น 6.8 แล้วนำไปอบผ่าเชื้อด้วยไอน้ำ

7. อาหารเหلو Fermentation broth (1 L)

แยกทำเป็น 2 ส่วน

ส่วนที่ 1 ละลาย Glucose 20, 30, 50, 70 หรือ 100 g แล้วเติมน้ำปรับปริมาตรเป็น 500 mL จากนั้นแบ่งใส่ Flask ขนาด 250 mL ด้วยปริมาตร Flask ละ 25 mL แล้วนำไปอบผ่าเชื้อด้วยไอน้ำ
 ส่วนที่ 2 ประกอบด้วย

5 g Yeast Extract
 5 g Peptone
 0.25 g KH_2PO_4
 0.25 g K_2HPO_4

5 mL Salt Solution

ละลายในน้ำปรับปริมาตรเป็น 500 mL และปรับ pH เป็น 6.8 แล้วนำไปอบผ่าเชื้อด้วยไอน้ำ

เมื่อต้องการใช้น้ำส่วนที่ 2 ปริมาตร 25 mL ใส่ลงใน Flask จากที่เตรียมไว้แล้วในส่วนที่ 1 จากนั้นเติม CaCO_3 2.5 g ต่อ Flask

8. Salt Solution (10 mL)

400 mg $\text{MgSO}_4 \cdot 7\text{H}_2\text{O}$

20 mg $\text{MnSO}_4 \cdot 5\text{H}_2\text{O}$

20 mg $\text{FeSO}_4 \cdot 7\text{H}_2\text{O}$

ละลายในน้ำปรับปริมาตรเป็น 10 mL

បររលអ្នករោម

- Bertram, G., Innes, S., Minella, O., Richardson, J.P., and Stansfield I. (2001) Endless possibilities: translation termination and stop codon recognition. *Microbiol* 147: 255-269.
- Bi, C., Zhang, X., Rice, J.D., Ingram, L.O., and Preston, J.F. (2009) Genetic engineering of *Enterobacter asburiae* strain JDR-1 for efficient D: (-) lactic acid production from hemicellulose hydrolysate. *Biotechnol Lett.*
- Boonsombat, R. (2013) Production of L-lactic Acid from *Escherichia coli* harboring recombinant plasmid with *Rhizopus oryzae ldhA* gene. *Life Science Journal* 10: 2217-2221.
- Chang, D.E., Jung, H.C., Rhee, J.S., and Pan, J.G. (1999) Homofermentative production of D- or L-lactate in metabolically engineered *Escherichia coli* RR1. *Appl Environ Microbiol* 65: 1384-1389.
- Datsenko, K.A., and Wanner, B.L. (2000) One-step inactivation of chromosomal genes in *Escherichia coli K-12* using PCR products. *Proc Natl Acad Sci USA* 97: 6640-6645.
- Ferain, T., Garmyn, D., Bernard, N., Hols, P., and Delcour, J. (1994) *Lactobacillus plantarum ldhL* gene: overexpression and deletion. *J Bacteriol* 176: 596-601.
- Hester, A. (2000a) IB market forecast. *Ind Bioprocess* 22: 3-5.
- Hester, A. (2000b) IB market forecast. *Ind Bioprocess* 22: 4-5.
- Ikushima, S., Fujii, T., Kobayashi, O., Yoshida, S., and Yoshida, A. (2009) Genetic engineering of *Candida utilis* yeast for efficient production of L-lactic acid. *Biosci Biotechnol Biochem* 73: 1818-1824.
- Jin, Q., Jung, J.Y., Kim, Y.J., Eom, H.J., Kim, S.Y., Kim, T.J., and Han, N.S. (2009) Production of l-lactate in *Leuconostoc citreum* via heterologous expression of l-lactate dehydrogenase gene. *J Biotechnol*.
- Kim, M.S., and Lei, X.G. (2008) Enhancing thermostability of *Escherichia coli* phytase AppA2 by error-prone PCR. *Appl Microbiol Biotechnol* 79: 69-75.
- Kricheldorf, H.R. (2001) Syntheses and application of polylactides. *Chemosphere* 43: 49-54.
- Narayanan, N., Roychoudhury, P.K., and Srivastava, A. (2004) L (+) lactic acid fermentation and its product polymerization. *Electronic Journal of Biotechnology* 7: 167-179.

- Okano, K., Zhang, Q., Shinkawa, S., Yoshida, S., Tanaka, T., Fukuda, H., and Kondo, A. (2009a) Efficient production of optically pure D-lactic acid from raw corn starch by using a genetically modified L-lactate dehydrogenase gene-deficient and alpha-amylase-secreting *Lactobacillus plantarum* strain. *Appl Environ Microbiol* 75: 462-467.
- Okano, K., Zhang, Q., Yoshida, S., Tanaka, T., Ogino, C., Fukuda, H., and Kondo, A. (2009b) D: -lactic acid production from celooligosaccharides and beta-glucan using L: -LDH gene-deficient and endoglucanase-secreting *Lactobacillus plantarum*. *Appl Microbiol Biotechnol*.
- Pritchard, L., Corne, D., Kell, D., Rowland, J., and Winson, M. (2005) A general model of error-prone PCR. *J Theor Biol* 234: 497-509.
- Saito, K., Saito, A., Ohnishi, M., and Oda, Y. (2004) Genetic diversity in *Rhizopus oryzae* strains as revealed by the sequence of lactate dehydrogenase genes. *Arch Microbiol* 182: 30-36.
- Sambrook, J., Fritsch, E.F., and Maniatis, T. (1989) Molecular cloning : a laboratory manual, 2nd ed. Cold Spring Harbor Laboratory, New York USA.
- Skory, C.D. (2000) Isolation and expression of lactate dehydrogenase genes from *Rhizopus oryzae*. *Appl Environ Microbiol* 66: 2343-2348.
- Skory, C.D. (2003) Lactic acid production by *Saccharomyces cerevisiae* expressing a *Rhizopus oryzae* lactate dehydrogenase gene. *J Ind Microbiol Biotechnol* 30: 22-27.
- Skory, C.D. (2004) Lactic acid production by *Rhizopus oryzae* transformants with modified lactate dehydrogenase activity. *Appl Microbiol Biotechnol* 64: 237-242.
- Thongchul, N., Navankasattusas, S., and Yang, S.T. (2009) Production of lactic acid and ethanol by *Rhizopus oryzae* integrated with cassava pulp hydrolysis. *Bioprocess Biosyst Eng.* 33: 407-416
- Woiciechowski, A.L., Soccol, C.R., Ramos, L.P., and Pandey, A. (1999) Experimental design to enhance the production of L-(+)-lactic acid from steam-exploded wood hydrolysate using *Rhizopus oryzae* in a mixed-acid fermentation. *Proc Biochem* 34: 949-955.
- Zhao, J., Xu, L., Wang, Y., Zhao, X., Wang, J., Grarza, E., Manow, R., and Zhou, S. (2013) Homofermentative production of optically pure L-lactic acid from xylose by genetically engineered *Escherichia coli*. *Microbial Cell Factories* 12: 1-6

ประวัติผู้วิจัย

หัวหน้าโครงการ

(ภาษาไทย) อาจารย์ ดร. ฤทธิรัตน์ บุญสมบัติ

(ภาษาอังกฤษ) Dr. RUETHAIRAT BOONSOMBAT

ตำแหน่งปัจจุบันอาจารย์ A-5

ที่ทำงาน สถาบันวิจัยเทคโนโลยีชีวภาพและวิศวกรรมพันธุศาสตร์ จุฬาลงกรณ์มหาวิทยาลัย

อาคารสถาบัน 3 ถ.พญาไท แขวงวงศ์ใหม่ เขตปทุมวัน กรุงเทพฯ 10330

โทรศัพท์ 02-2188078 โทรสาร 02-2533543 E-mail address : Ruethairat.B@Chula.ac.th

ที่อยู่ปัจจุบัน 1550/3 ถ.ประชาธิรักษ์ 1 แขวงบางซื่อ เขตบางซื่อ กรุงเทพฯ 10800

โทรศัพท์ (080) 9991465

ประวัติการศึกษา

มหาวิทยาลัย	ปริญญา	สาขาวิชา	ปีที่จบการศึกษา
มหาวิทยาลัยมหิดล University of Massachusetts, Amherst	ปริญญาตรี ปริญญาโทเอก	วทบ. (ชีววิทยา) Ph.D. (Microbiology)	2544 2551

สาขาวิชาการที่มีความชำนาญพิเศษ พันธุศาสตร์โภคภัณฑ์

ผลงานทางวิชาการ

Boonsombat, R. (2013) Production of L-lactic Acid from *Escherichia coli* harboring recombinant plasmid with *Rhizopus oryzae ldhA* gene. *Life Science Journal* 10: 2217-2221.

- Prasirtsak, B., Tanasupawatb, S., **Boonsombat, R.**, Kodama, K. and Thongchul, N. (2013) Characterization of lactic acid producing bacteria from Thai sources. *Journal of Applied Pharmaceutical Science* **3**: 33-38.
- Moon-ai, W., Niyomploy, P., **Boonsombat, R.**, Sangvanich, P. and Karnchanatat, A. (2012) A superoxide dismutase purified from the rhizome of Curcuma aeruginosa Roxb. as inhibitor of nitric oxide production in the macrophage-like RAW 264.7 cell line. *Appl Biochem Biotechnol* **166**: 2138-2155
- Lopper, M., **Boonsombat, R.**, Sandler, S. J. and Keck, J. L. (2007) A hand-off mechanism for primosome assembly in replication restart. *Molecular Cell* **26** : 781-793.
- Boonsombat, R.**, Yeh, S.P., Milne, A., and Sandler, S.J. (2006) A novel *dnaC* mutation that suppresses *priB rep* mutant phenotypes in *Escherichia coli* K-12. *Mol Micro* **60**: 973-983.

Renzette, N., Gumlaw, N., Nordman, J.T., Krieger, M., Yeh S.P., Long, E., Centore, R., **Boonsombat, R.** and Sandler, S.J. (2005) Localization of RecA in *Escherichia coli* K-12 using RecA-GFP. *Mol Micro* **57**:1074-85.

ผู้ช่วยวิจัย

(ภาษาไทย) นางสาวชนพร วิชัย

(ภาษาอังกฤษ) Miss THANAPORN WICHAI

ตำแหน่ง ผู้ช่วยนักวิจัย(ฝ่ายวิจัยและพัฒนา)

ที่ทำงาน สถาบันวิจัยเทคโนโลยีชีวภาพและวิศวกรรมพันธุศาสตร์ จุฬาลงกรณ์มหาวิทยาลัย

อาคารสถาบัน3 ถ.พญาไท แขวงวงศ์ใหม่ เขตปทุมวัน กรุงเทพฯ 10330

โทรศัพท์ 02-2188071 โทรสาร 02-2533543 E-mail address : th_aoy@hotmail.co.th

ที่อยู่ปัจจุบัน 103 หมู่ 14 ต.วังรายพูน อ.วังรายพูน จ.พิจิตร 66180

โทรศัพท์ 0870090075

ประวัติการศึกษา

มหาวิทยาลัย	ปริญญา	สาขาวิชา	ปีที่จบการศึกษา
มหาวิทยาลัยบูรพา	ปริญญาตรี	วท.บ. (ชีวเคมี)	2547
มหาวิทยาลัยธรรมศาสตร์	ปริญญาโท	วศ.ม. (เคมี)	2555

สาขาวิชาการที่มีความชำนาญพิเศษ พันธุศาสตร์โภมเลกุล

ผลงานวิชาการและการเสนอผลงานวิจัย

Yamoat, T., **Wichai, T.** and Boonsombat, R. Improvement of lactic acid production in *Escherichia coli* harboring plasmid with *Rhizopus oryzae ldhA* gene. Proceeding in the TSB International Forum. August 28-30, 2013, Bangkok, Thailand.